

Politechnika Warszawska
Wydział Mechaniczny Energetyki i Lotnictwa
Zakład Aerodynamiki

SYMULACJA PRZEPŁYWU W OBSZARACH O GEOMETRII
ZMIENNEJ W CZASIE

Autor:
KRYSTIAN PLACKOWSKI

Praca wykonana pod przewodnictwem:
prof. Jacek Rokicki

7 października 2017

Spis treści

1	Sformułowanie problemu.	2
2	Wyprowadzenie równań.	3
3	Warunki brzegowe.	5
4	Ciśnienie.	9
5	Dyskretyzacja siatki i algorytm.	11
6	Multigrid.	17
7	Błąd obliczenia pól prędkości.	20
8	Błąd obliczenia pola ciśnienia.	24
9	Wyniki - błędy pól prędkości i ciśnienia.	26
10	Ściskanie rurki - wyniki symulacji.	33
11	Siła wymagana do ściśnięcia.	43

1 Sformułowanie problemu.

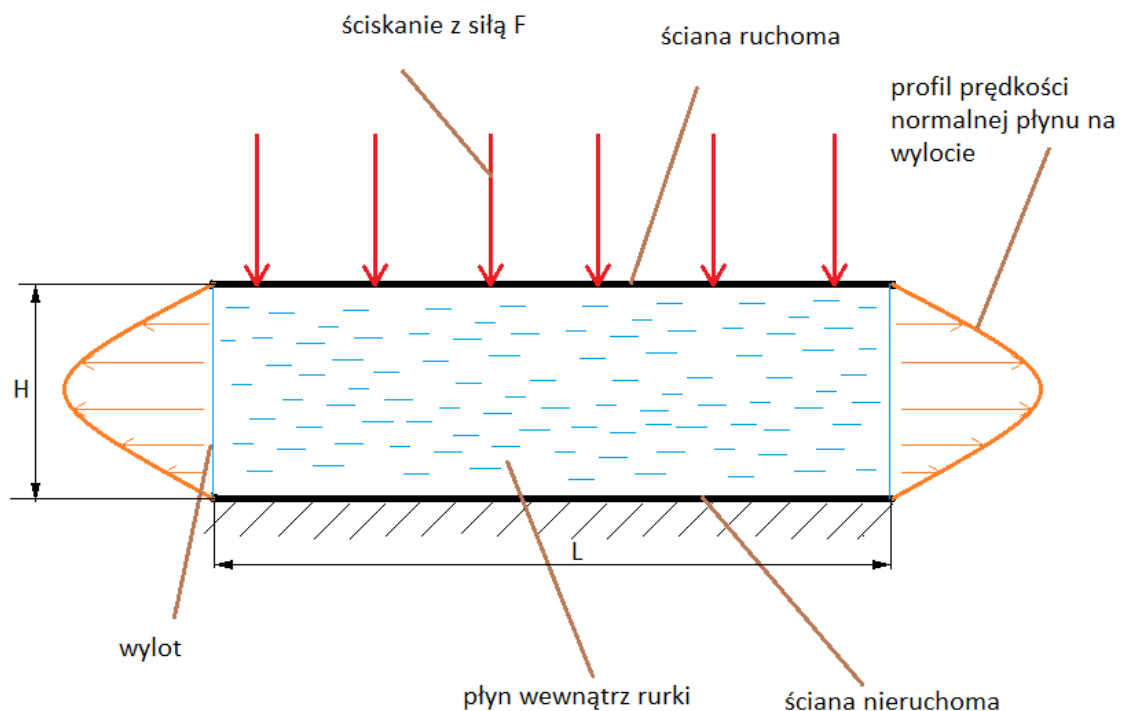
Rozważamy przepływ 2-wymiarowy. Woda początkowo w stanie niezaburzonym, przy zaniedbaniu siły grawitacji wypełnia prostokątną rurkę o wymiarach początkowych: długość L , wysokość H_0 . Boki górny i dolny prostokąta są ściankami, boki prawy i lewy są wylotami (woda przez nie swobodnie wypływa).

Dolna ścianka jest nieruchoma, górna ścianka porusza się z taką prędkością, że wymiar wysokości rurki zmienia się w czasie zgodnie z funkcją $H(t)$, gdzie $H(0) = H_0$.

Zastanawiamy się, co stanie się z wodą w rurce po rozpoczęciu ruchu górnej ścianki. Zakładamy, że jesteśmy w stanie zaprojektować urządzenia wystrzykujące wodę (znajdujące się na wylocie, woda pobrana z rurki), które pozwolą nam uzyskać dokładnie takie profile prędkości stycznej i normalnej na wylotach, jakie chcemy.

Interesuje nas rozkład ciśnienia wewnątrz rurki, zwłaszcza odpowiedź na pytania:

- 1) Czy profil ciśnienia w przekroju poprzecznym przy wylocie jest stały?
- 2) Jaki jest przebieg w czasie siły $F(t)$ wymaganej do ściśnięcia rurki od wysokości H_0 do wysokości $H(t)$?



Rysunek 1: rysunek poglądowy

2 Wyprowadzenie równań.

Podójście $\psi - \omega$ do rozwiązania nieściśliwego równania Naviera-Stokesa w 2D:

$$\frac{\partial \omega}{\partial t} + u \frac{\partial \omega}{\partial x} + v \frac{\partial \omega}{\partial y} = \nu \left(\frac{\partial^2 \omega}{\partial x^2} + \frac{\partial^2 \omega}{\partial y^2} \right) + \nabla \times \vec{f} \quad (1)$$

$$\Delta \psi = -\omega \quad (2)$$

$$u = \frac{\partial \psi}{\partial y} \quad (3)$$

$$v = -\frac{\partial \psi}{\partial x} \quad (4)$$

ψ - funkcja prądu, ω - pole wirowości, u i v to składowe pola prędkości, $\vec{f} = [f_1, f_2]$ to pole sił objętościowych, $\nabla \times \vec{f} = \frac{\partial f_2}{\partial x} - \frac{\partial f_1}{\partial y}$

Aby uniknąć operowania na siatce zmiennej w czasie, stosujemy transformację zmiennego w czasie układu współrzędnych do układu stałego.

Niech $(x, y) \in (0, L) \times (0, H(t))$ oznacza układ wyjściowy, a $(\xi, \eta) \in (0, 1) \times (0, 1)$ układ transformowany:

$$x = L \cdot \xi \quad (5)$$

$$y = H \cdot \eta \quad (6)$$

L oznacza długość rurki, H wysokość rurki (wartość zmienna w czasie)

W celu uzyskania równań transportu w układzie (ξ, η) należy pola $\psi(x, y), \omega(x, y), u(x, y), v(x, y)$ w równaniach (1) (2) (3) (4) zamienić do postaci $\psi(\xi, \eta), \omega(\xi, \eta), u(\xi, \eta), v(\xi, \eta)$.

Zauważmy, że w przypadku pochodnych cząstkowych po x i y przekształcenie jest trywialne:

$$\frac{\partial F(x, y)}{\partial x} = \frac{\partial F(L\xi, H\eta)}{\partial(L\xi)} = \frac{1}{L} \frac{\partial F(\xi, \eta)}{\partial \xi} \quad (7)$$

$$\frac{\partial F(x, y)}{\partial y} = \frac{\partial F(L\xi, H\eta)}{\partial(H\eta)} = \frac{1}{H} \frac{\partial F(\xi, \eta)}{\partial \eta} \quad (8)$$

Także:

$$F(x, y) = F(L\xi, H\eta) = F(\xi, \eta) \quad (9)$$

Inaczej ma się sprawa pochodnej cząstkowej po t (czasie), mianowicie dla L i H zależnych od czasu:

$$\frac{\partial F(x, y, t)}{\partial t} = \frac{\partial F(L\xi, H\eta, t)}{\partial t} \neq \frac{\partial F(\xi, \eta, t)}{\partial t} \quad (10)$$

Wynika to ze ścisłej definicji pochodnej cząstkowej - przy różniczkowaniu względem danej zmiennej ignorujemy fakt, że pozostałe zmienne mogą być funkcjami tej zmiennej.

Inna jest natomiast definicja pochodnej substancjalnej - bierze ona pod uwagę fakt, że pod wpływem zmiany czasu wartości zmiennych x i y we wzorze funkcji mogą ulec zmianie (zmienne te mogą być funkcjami $x(t)$ i $y(t)$). Z tego faktu wolno napisać równość:

$$\frac{DF(\xi, \eta, t)}{Dt} = \frac{DF(L\xi, H\eta, t)}{Dt} \quad (11)$$

Uwaga: punkt o współrzędnych (x, y) traktujemy **tutaj** (w celu wyprowadzenia) jako punkt siatki, a pochodne współrzędnych po czasie jako przemieszczenie punktu ruchomej siatki względem początku układu współrzędnych. Na rzecz wyprowadzenia nie należy mylić punktu (x, y) z położeniem cząstki płynu!

Rozpisując każdą ze stron (11):

$$\frac{DF(\xi, \eta, t)}{Dt} = \frac{\partial F(\xi, \eta, t)}{\partial t} + \frac{\partial \xi}{\partial t} \cdot \frac{\partial F(\xi, \eta, t)}{\partial \xi} + \frac{\partial \eta}{\partial t} \cdot \frac{\partial F(\xi, \eta, t)}{\partial \eta} \quad (12)$$

$$\frac{DF(L\xi, H\eta, t)}{Dt} = \frac{\partial F(L\xi, H\eta, t)}{\partial t} + \frac{\partial(L\xi)}{\partial t} \cdot \frac{\partial F(L\xi, H\eta, t)}{\partial(L\xi)} + \frac{\partial(H\eta)}{\partial t} \cdot \frac{\partial F(L\xi, H\eta, t)}{\partial(H\eta)} \quad (13)$$

Ponieważ ξ i η są stałe w czasie (w sensie punktów siatki), to z (5) i (6) mamy związki:

$$\frac{\partial \xi}{\partial t} = 0 \quad (14)$$

$$\frac{\partial \eta}{\partial t} = 0 \quad (15)$$

$$\frac{\partial(L\xi)}{\partial t} = 0 \quad (16)$$

$$\frac{\partial(H\eta)}{\partial t} = \dot{H}\eta \quad (17)$$

Wstawiając je do (12) i (13) otrzymujemy:

$$\frac{DF(\xi, \eta, t)}{Dt} = \frac{\partial F(\xi, \eta, t)}{\partial t} \quad (18)$$

$$\frac{DF(L\xi, H\eta, t)}{Dt} = \frac{\partial F(L\xi, H\eta, t)}{\partial t} + \dot{H}\eta \frac{\partial F(L\xi, H\eta, t)}{H\partial \eta} \quad (19)$$

Co z uwagi na (11) daje **ważny wzór (20)**:

$$\frac{\partial F(L\xi, H\eta, t)}{\partial t} = \frac{\partial F(\xi, \eta, t)}{\partial t} - \frac{\dot{H}}{H}\eta \frac{\partial F(\xi, \eta, t)}{\partial \eta} \quad (20)$$

Mamy zatem:

$$\frac{\partial \omega(x, y, t)}{\partial t} = \frac{\partial \omega(\xi, \eta, t)}{\partial t} - \frac{\dot{H}}{H} \eta \frac{\partial \omega(\xi, \eta, t)}{\partial \eta} \quad (21)$$

Podstawienie (7), (8), (21) do równań wyjściowych (1)-(4) daje postać równań transportu w układzie (ξ, η) :

$$\frac{\partial \omega}{\partial t} + \frac{1}{L} u \frac{\partial \omega}{\partial \xi} + \frac{1}{H} (v - \dot{H} \eta) \frac{\partial \omega}{\partial \eta} = \nu \left[\frac{1}{L^2} \frac{\partial \omega^2}{\partial \xi^2} + \frac{1}{H^2} \frac{\partial \omega^2}{\partial \eta^2} \right] + \frac{1}{L} \frac{\partial f_2}{\partial \xi} - \frac{1}{H} \frac{\partial f_1}{\partial \eta} \quad (22)$$

$$\frac{1}{L^2} \frac{\partial \psi^2}{\partial \xi^2} + \frac{1}{H^2} \frac{\partial \psi^2}{\partial \eta^2} = -\omega \quad (23)$$

$$u = \frac{1}{H} \frac{\partial \psi}{\partial \eta} \quad (24)$$

$$v = -\frac{1}{L} \frac{\partial \psi}{\partial \xi} \quad (25)$$

3 Warunki brzegowe.

Wyprowadzamy w układzie (x, y) , następnie przechodzimy do układu (ξ, η) . W celu benchmarka modelujemy całą rurkę, z dwoma wylotami po obu stronach, bez osi symetrii. Jeśli program będzie działał poprawnie, to w uzyskanym rozwiązaniu, każde pole będzie symetryczne lub antysymetryczne względem pionowej osi przechodzącej przez punkty $(\xi = 0.5, \eta = 0)$, $(\xi = 0.5, \eta = 1)$.

Określmy prędkości na kierunkach x i y (odpowiednio u i v) dla każdej ze ścianek prostokąta o wymiarach $L \times H$ o lewym wierzchołku w punkcie $(0, 0)$. Przyjmijmy oznaczenia: **G-ścianka** górna, **P-ścianka** prawa, **D-ścianka** dolna, **L-ścianka** lewa.

Wydatek wody Q , którą wtłacza górna ścianka, musi być równy minus sumie wydatków na wylotach (oba wyloty mają ten sam wydatek), a suma wszystkich wydatków równa 0:

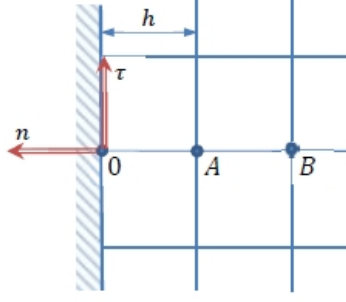
$$Q + \int_0^H u_P(x, y) dy + \int_0^H -u_L(x, y) dy = 0 \quad (26)$$

Rozkład prędkości stycznej na wylotach, z braku lepszego modelu przyjmujemy jako liniowy, rosnący od prędkości na kierunku y dolnej ścianki do prędkości górnej ścianki. Gwarantuje to **ciągłość pola modułu prędkości na obwodzie**.

Wydatek górnej ścianki wynosi $Q = L\dot{H}$.

Wirowość na brzegu.

Należy ją określić na początku każdej chwili czasowej. Można to zrobić na etapie dyskretyzacji, przy znajomości funkcji prądu w obszarze i na obwodzie. Standardowe wzory I i II rzędu dla **równomiernej** dyskretyzacji siatki w **kierunku normalnym** do ścianki, dla brzegu **niezaokrąglonego**:



Rysunek 2: siatka w pobliżu brzegu

$$\omega_{xy}(0) = -\frac{2}{h^2} [-\psi_{xy}(0) + \psi_{xy}(A) + h \cdot b_{xy}] + O(h) \quad (27)$$

$$\omega_{xy}(0) = -\frac{2}{h^2} [-1.75\psi_{xy}(0) + 2\psi_{xy}(A) - 0.25\psi_{xy}(B) + 1.5h \cdot b_{xy}] + O(h^2) \quad (28)$$

0 oznacza punkt na brzegu. A to punkt oddalony o h od tego punktu, zaś B to punkt siatki oddalony o $2h$ od brzegu.

b jest **prędkością styczną** na brzegu.

Indeksy dolne oznaczają, czy pola ψ , ω , b są przed, czy po transformacji układu współrzędnych.

Transformacja według wzorów (5) i (6) w wersji dla różniczek siatki:

$$h_x = L \cdot h_\xi \quad (29)$$

$$h_y = H \cdot h_\eta \quad (30)$$

Oznacza to, że wzory (27) i (28) przyjmą formę:

a) **ścianki poziome (horizontal walls):**

$$\omega_{\xi\eta}(0) = -\frac{2}{L^2 h_\xi^2} [-\psi_{\xi\eta}(0) + \psi_{\xi\eta}(A) + L h_\xi \cdot b_{\xi\eta}] + O(h_\xi) \quad (31)$$

$$\omega_{\xi\eta}(0) = -\frac{2}{L^2 h_\xi^2} [-1.75\psi_{\xi\eta}(0) + 2\psi_{\xi\eta}(A) - 0.25\psi_{\xi\eta}(B) + 1.5L h_\xi \cdot b_{\xi\eta}] + O(h_\xi^2) \quad (32)$$

a) **ścianki pionowe (vertical walls):**

$$\omega_{\xi\eta}(0) = -\frac{2}{H^2 h_\eta^2} [-\psi_{\xi\eta}(0) + \psi_{\xi\eta}(A) + H h_\eta \cdot b_{\xi\eta}] + O(h_\eta) \quad (33)$$

$$\omega_{\xi\eta}(0) = -\frac{2}{H^2 h_\eta^2} [-1.75\psi_{\xi\eta}(0) + 2\psi_{\xi\eta}(A) - 0.25\psi_{\xi\eta}(B) + 1.5H h_\eta \cdot b_{\xi\eta}] + O(h_\eta^2) \quad (34)$$

3.1. Profil paraboliczny prędkości normalnej na wylotach.

Przyjmujemy $u_P(x, y) = ay(H - y)$, gdzie wartość a jest do wyznaczenia z równania:

$$\frac{Q}{2} = - \int_0^H u_P(x, y) dy = - \int_0^H ay(H - y) dy \quad (35)$$

Po uzyskaniu pola prędkości na obwodzie w układzie (x, y) , można przejść do układu (ξ, η) na podstawie związków (5) i (6).

Funkcja prądu musi spełnić związki (3) i (4) oraz **zachować ciągłość na obwodzie**. Rozkład funkcji prądu uzyskujemy z całkowania prędkości normalnej w układzie (x, y) i dobrania stałych całkowania. Następnie na podstawie związków (5) i (6) znajdujemy rozkład w układzie (ξ, η) .

Rezultatem powyższych działań są składowe prędkości:

$$u_G(x, y) = 0 \longrightarrow u_G(\xi, \eta) = 0 \quad (36)$$

$$v_G(x, y) = \dot{H} \longrightarrow v_G(\xi, \eta) = \dot{H} \quad (37)$$

$$u_P(x, y) = -y(H - y) \frac{3L\dot{H}}{H^3} \longrightarrow u_P(\xi, \eta) = -\eta(1 - \eta) \frac{3L\dot{H}}{H} \quad (38)$$

$$v_P(x, y) = y \frac{\dot{H}}{H} \longrightarrow v_P(\xi, \eta) = \eta \dot{H} \quad (39)$$

$$u_D(x, y) = 0 \longrightarrow u_D(\xi, \eta) = 0 \quad (40)$$

$$v_D(x, y) = 0 \longrightarrow v_D(\xi, \eta) = 0 \quad (41)$$

$$u_L(x, y) = y(H - y) \frac{3L\dot{H}}{H^3} \longrightarrow u_L(\xi, \eta) = \eta(1 - \eta) \frac{3L\dot{H}}{H} \quad (42)$$

$$v_L(x, y) = y \frac{\dot{H}}{H} \longrightarrow v_L(\xi, \eta) = \eta \dot{H} \quad (43)$$

Funkcja prądu na obwodzie:

$$\psi_G(x, y) = \frac{\dot{H}}{2}(L - 2x) \longrightarrow \psi_G(\xi, \eta) = \frac{L\dot{H}}{2}(1 - 2\xi) \quad (44)$$

$$\psi_P(x, y) = \frac{L\dot{H}}{2H^3}(2y^3 - 3y^2H) \longrightarrow \psi_P(\xi, \eta) = \frac{L\dot{H}}{2}(2\eta^3 - 3\eta^2) \quad (45)$$

$$\psi_D(x, y) = 0 \longrightarrow \psi_D(\xi, \eta) = 0 \quad (46)$$

$$\psi_L(x, y) = -\frac{L\dot{H}}{2H^3}(2y^3 - 3y^2H) \longrightarrow \psi_L(\xi, \eta) = -\frac{L\dot{H}}{2}(2\eta^3 - 3\eta^2) \quad (47)$$

Wirowość na obwodzie (prędkości styczne b):

$$b_G(x, y) = 0 \longrightarrow b_G(\xi, \eta) = 0 \quad (48)$$

$$b_P(x, y) = -y \frac{\dot{H}}{H} \longrightarrow b_P(\xi, \eta) = -\eta \dot{H} \quad (49)$$

$$b_D(x, y) = 0 \longrightarrow b_D(\xi, \eta) = 0 \quad (50)$$

$$b_L(x, y) = y \frac{\dot{H}}{H} \longrightarrow b_L(\xi, \eta) = \eta \dot{H} \quad (51)$$

3.2. Profil eliptyczny prędkości normalnej na wylotach.

Ma następującą własność: wykres prędkości normalnej na wylotach jest styczny do ścianek górnej i dolnej.

Przyjmujemy $u_P(x, y) = a \sqrt{\left(\frac{H}{2}\right)^2 - \left(y - \frac{H}{2}\right)^2}$, gdzie wartość a jest do wyznaczenia z równania:

$$\frac{Q}{2} = - \int_0^H u_P(x, y) dy = - \int_0^H a \sqrt{\left(\frac{H}{2}\right)^2 - \left(y - \frac{H}{2}\right)^2} dy \quad (52)$$

Postępując jak poprzednio dostaniemy różnice jedynie przy kilka wielkościach:

$$u_P(x, y) = -\frac{4L\dot{H}}{\pi H^2} \sqrt{\left(\frac{H}{2}\right)^2 - \left(y - \frac{H}{2}\right)^2} \longrightarrow u_P(\xi, \eta) = -\frac{2L\dot{H}}{\pi H} \sqrt{1 - (2\eta - 1)^2} \quad (53)$$

$$u_L(x, y) = \frac{4L\dot{H}}{\pi H^2} \sqrt{\left(\frac{H}{2}\right)^2 - \left(y - \frac{H}{2}\right)^2} \longrightarrow u_L(\xi, \eta) = \frac{2L\dot{H}}{\pi H} \sqrt{1 - (2\eta - 1)^2} \quad (54)$$

Funkcja prądu na obwodzie:

$$\psi_P(x, y) = -\frac{L\dot{H}}{2\pi} \left[\frac{y - \frac{H}{2}}{\left(\frac{H}{2}\right)^2} \sqrt{\left(\frac{H}{2}\right)^2 - \left(y - \frac{H}{2}\right)^2} + a \sin\left(\frac{y}{\frac{H}{2}} - 1\right) + \frac{\pi}{2} \right] \quad (55)$$

$$\psi_P(\xi, \eta) = -\frac{L\dot{H}}{2\pi} \left[(2\eta - 1) \sqrt{1 - (2\eta - 1)^2} + a \sin(2\eta - 1) + \frac{\pi}{2} \right] \quad (56)$$

$$\psi_L(x, y) = \frac{L\dot{H}}{2\pi} \left[\frac{y - \frac{H}{2}}{\left(\frac{H}{2}\right)^2} \sqrt{\left(\frac{H}{2}\right)^2 - \left(y - \frac{H}{2}\right)^2} + a \sin\left(\frac{y}{\frac{H}{2}} - 1\right) + \frac{\pi}{2} \right] \quad (57)$$

$$\psi_L(\xi, \eta) = \frac{L\dot{H}}{2\pi} \left[(2\eta - 1) \sqrt{1 - (2\eta - 1)^2} + a \sin(2\eta - 1) + \frac{\pi}{2} \right] \quad (58)$$

Pozostałe składniki, łącznie z wirowością na brzegu, zostają takie same jak w 3.1.

4 Ciśnienie.

Wychodzimy od równania Naviera-Stokesa dla prędkości w układzie (x, y) z pochoďnymi ciśnienia przeniesionymi na lewą stronę:

$$\frac{1}{\rho} \frac{\partial p}{\partial x} = -\frac{\partial u}{\partial t} - u \frac{\partial u}{\partial x} - v \frac{\partial u}{\partial y} + \nu \left(\frac{\partial^2 u}{\partial x^2} + \frac{\partial^2 u}{\partial y^2} \right) + f_1 \quad (59)$$

$$\frac{1}{\rho} \frac{\partial p}{\partial y} = -\frac{\partial v}{\partial t} - u \frac{\partial v}{\partial x} - v \frac{\partial v}{\partial y} + \nu \left(\frac{\partial^2 v}{\partial x^2} + \frac{\partial^2 v}{\partial y^2} \right) + f_2 \quad (60)$$

Korzystając ze wzoru (20) mamy:

$$\frac{\partial u(x, y, t)}{\partial t} = \frac{\partial u(\xi, \eta, t)}{\partial t} - \frac{\dot{H}}{H} \eta \frac{\partial u(\xi, \eta, t)}{\partial \eta} \quad (61)$$

$$\frac{\partial v(x, y, t)}{\partial t} = \frac{\partial v(\xi, \eta, t)}{\partial t} - \frac{\dot{H}}{H} \eta \frac{\partial v(\xi, \eta, t)}{\partial \eta} \quad (62)$$

Dołączając wzory (5)-(7) otrzymujemy:

$$\frac{\partial p}{\partial \xi} = \rho \left[-L \frac{\partial u}{\partial t} - u \frac{\partial u}{\partial \xi} - \frac{L}{H} (v - \eta \dot{H}) \frac{\partial u}{\partial \eta} + \nu \left(\frac{1}{L} \frac{\partial^2 u}{\partial \xi^2} + \frac{L}{H^2} \frac{\partial^2 u}{\partial \eta^2} \right) + L f_1 \right] \quad (63)$$

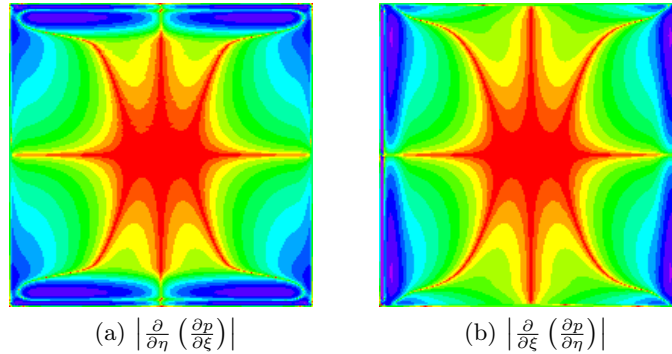
$$\frac{\partial p}{\partial \eta} = \rho \left[-H \frac{\partial v}{\partial t} - \frac{H}{L} u \frac{\partial v}{\partial \xi} - (v - \eta \dot{H}) \frac{\partial v}{\partial \eta} + \nu \left(\frac{H}{L^2} \frac{\partial^2 v}{\partial \xi^2} + \frac{1}{H} \frac{\partial^2 v}{\partial \eta^2} \right) + H f_2 \right] \quad (64)$$

Ponieważ (63) i (64) zostaną obliczone **niezależnie i ze skończoną dokładnością**, bardzo ważne jest sprawdzenie, w jakim stopniu spełniona jest relacja:

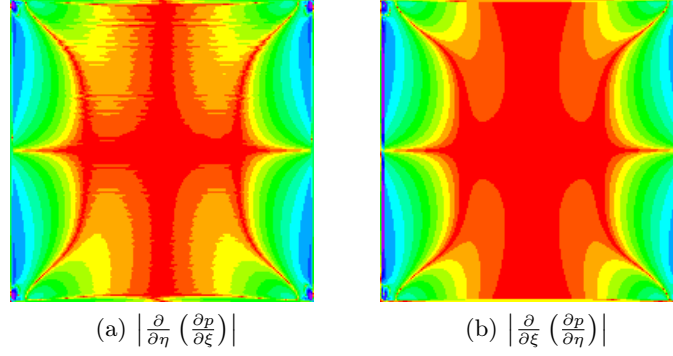
$$\frac{\partial}{\partial \eta} \left(\frac{\partial p}{\partial \xi} \right) = \frac{\partial}{\partial \xi} \left(\frac{\partial p}{\partial \eta} \right) \quad (65)$$

Sensowne spełnienie tej relacji zawsze wymaga **bardzo dokładnego policzenia wszystkich wyrażeń** i małych kroków czasowych (dokładność policzenia $\frac{\partial u}{\partial t}$ i $\frac{\partial v}{\partial t}$). Niemal nie ma wpływu błąd dyskretyzacji siatki. Jeśli relacja nie będzie "wyraźnie" spełniona w jakimś przedziale czasu (po przedstawieniu w skali logarytmicznej) to wynik ciśnienia będzie w tym przedziale **na pewno** błędny.

Poniżej przykłady (pochodzą z obliczeń zagadnienia, któremu poświęcona jest ta lektura):



Rysunek 3: pierwszy typ błędu - za mała dokładność policzenia $\frac{\partial u}{\partial t}$ i $\frac{\partial v}{\partial t}$



Rysunek 4: drugi typ błędu - za mała dokładność policzenia $u(\xi, \eta)$ i $v(\xi, \eta)$

Wszystkie wykresy są w skali logarytmicznej, gdzie kolor czerwony odpowiada najmniejszej wartości, a fioletowy największej. W przypadku poprawności, wykresy a) i b) z każdej pary byłyby identyczne.

Na rysunkach 2.a) i 2.b) widzimy dodatkowe "góry" przy brzegach obszaru, które nie występują jednocześnie na obu wykresach. Aby je wyeliminować, należy zmniejszyć krok czasowy Δt .

Na rysunkach 3.a) i 3.b) widzimy "poszarpanie". Aby je wyeliminować, należy zażądać silniejszych warunków zakończenia iteracji przy liczeniu ψ z wyrażenia $\nabla^2 \psi = -\omega$.

Jeśli relacja (65) jest spełniona, to pole ciśnienia uzyskujemy stosując iteracyjnie następujące relacje:

$$p(\xi \pm h, \eta) = p(\xi, \eta) \pm h \frac{\partial p}{\partial \xi}(\xi, \eta) + O(h) \quad (66)$$

$$p(\xi, \eta \pm h) = p(\xi, \eta) \pm h \frac{\partial p}{\partial \eta}(\xi, \eta) + O(h) \quad (67)$$

$$p(\xi \pm h, \eta) = p(\xi, \eta) \pm \frac{h}{2} \left[\frac{\partial p}{\partial \xi}(\xi, \eta) + \frac{\partial p}{\partial \xi}(\xi \pm h, \eta) \right] + O(h^2) \quad (68)$$

$$p(\xi, \eta \pm h) = p(\xi, \eta) \pm \frac{h}{2} \left[\frac{\partial p}{\partial \eta}(\xi, \eta) + \frac{\partial p}{\partial \eta}(\xi, \eta \pm h) \right] + O(h^2) \quad (69)$$

Przy czym należy założyć znaną wartość ciśnienia w 1 punkcie, np. niech $p(\frac{N+1}{2}, \frac{N+1}{2}) = 0$.

Mając ciśnienie we wnętrzu obszaru, ciśnienie na brzegu możemy policzyć za pomocą wzorów:

$$p(\xi, \eta) = p(\xi \pm h, \eta) \mp h [1.5p_\xi(\xi \pm h, \eta) - 0.5p_\xi(\xi \pm 2h, \eta)] + O(h^2) \quad (70)$$

$$p(\xi, \eta) = p(\xi, \eta \pm h) \mp h [1.5p_\eta(\xi, \eta \pm h) - 0.5p_\eta(\xi, \eta \pm 2h)] + O(h^2) \quad (71)$$

Co pozwala uniknąć liczenia pochodnych ciśnienia na brzegu.

5 Dyskretyzacja siatki i algorytm.

Każdy bok kwadratu $(0, 1) \times (0, 1)$ w układzie (ξ, η) dzielimy na jednakową, parzystą liczbę pól N i nieparzystą liczbę wierzchołków $N + 1$. Odległość między dwoma kolejnymi punktami siatki $h = \frac{1}{N}$. Preferowanie liczba N jest podzielna przez możliwie dużą potęgę 2.

Niech (i, j) dla $1 \leq (i, j) \leq N$ reprezentuje iterowanie po wszystkich wierzchołkach siatki.

Niech (i, j) dla $2 \leq (i, j) \leq N - 1$ reprezentuje iterowanie po wnętrzu kwadratu (pominięcie brzegowych wierzchołków siatki).

Niech $(i, j) \in \Gamma$ reprezentuje iterowanie po brzegu kwadratu.

Ponadto:

$$\xi = (i - 1) \cdot h$$

$$\eta = (j - 1) \cdot h$$

Niech $F(i, j)$ oznacza wartość funkcji F w punkcie (ξ, η) .

Algorytm

1. Ustal wielkości globalne:

H_0 - początkowa wysokość rurki

L - długość rurki

$H(t)$ - funkcja wysokości rurki od czasu. Wymagania: musi być ciągła w $t \in \langle 0, T_{max} \rangle$ oraz spełniać $H(0) = H_0$

$\dot{H}(t)$ - pochodna funkcji wysokości rurki po czasie. Równa prędkości górnej ścianki.

T_{max} - maksymalny (celowany) czas symulacji

Δt - długość kroku czasowego 1 iteracji czasowej

ν - lepkość kinematyczna płynu, kształtująca liczbę Reynoldsa

$\rho = 1000$ - gęstość płynu w jednostkach SI

α - współczynnik relaksacji w algorytmie Cranka-Nicholsona

ϵ_1 - dokładność liczenia laplasjanów

ϵ_2 - dokładność liczenia w algorytmie Cranka-Nicholsona

2. Nadaj wartości początkowe dla chwili $T = 0$.

$$T = 0$$

$$\text{dla } 2 \leq (i, j) \leq N - 1 : \psi(i, j) = 0$$

$$\text{dla } 2 \leq (i, j) \leq N - 1 : \omega(i, j) = 0$$

$$\text{dla } (i, j) \in \Gamma : \psi(i, j) = \text{zgodnie z (44)-(47) lub (55)-(58)}$$

$$\text{dla } (i, j) \in \Gamma : \omega(i, j) = \text{zgodnie z (31) i (33) (wzór I rzędu) albo (32) i (34) (wzór II rzędu)}$$

Początkowe pola prędkości:

$$\text{dla } (i, j) \in \Gamma : u(i, j) = \text{zgodnie z (36),(38),(40),(42) lub (53),(54)}$$

$$\text{dla } (i, j) \in \Gamma : v(i, j) = \text{zgodnie z (37),(39),(41),(43)}$$

$$2 \leq (i, j) \leq N-1 : u(i, j) = \frac{\psi(i, j+1) - \psi(i, j-1)}{2hH} \quad (72)$$

$$2 \leq (i, j) \leq N-1 : v(i, j) = -\frac{\psi(i+1, j) - \psi(i-1, j)}{2hL} \quad (73)$$

W punktach (3.) i (4.):

ω_* - (docelowo) wirowość w chwili $T + \Delta t$

ψ_* - (docelowo) funkcja prądu w chwili $T + \Delta t$

ω - (znana) wirowość w chwili T

ψ - (znana) funkcja prądu w chwili T

$H = H(T)$

$H_* = H(T + \Delta t)$

$G(i, j) = \frac{1}{L} \frac{\partial f_2}{\partial \xi}(\xi, \eta) - \frac{1}{H} \frac{\partial f_1}{\partial \eta}(\xi, \eta)$ - (znana) rotacja pola sił objętościowych w układzie (ξ, η)

$G_*(i, j) = \frac{1}{L} \frac{\partial f_2}{\partial \xi}(\xi, \eta) - \frac{1}{H_*} \frac{\partial f_1}{\partial \eta}(\xi, \eta)$ - powyższe w chwili $T + \Delta t$

3. Algorytm jawnej dyskretyzacji po czasie.

Jeśli wybrałeś algorytm Cranka-Nicholsona, przejdź do (4.).

3.1. Oblicz $\omega_* = \omega(T + \Delta t)$ w obszarze:

$$2 \leq (i, j) \leq N-1 : \omega_*(i, j) = \omega(i, j) + \Delta t \left[-u(i, j) \frac{\omega(i+1, j) - \omega(i-1, j)}{2hL} - \left(v(i, j) - y\dot{H} \right) \frac{\omega(i, j+1) - \omega(i, j-1)}{2hH} + \nu \frac{\omega(i-1, j) - 2\omega(i, j) + \omega(i+1, j)}{(hL)^2} + \nu \frac{\omega(i, j-1) - 2\omega(i, j) + \omega(i, j+1)}{(hH)^2} + G(i, j) \right] \quad (74)$$

3.2. Oblicz $\psi_* = \psi(T + \Delta t)$ na brzegu:

$$(i, j) \in \Gamma : \psi_*(i, j) = \text{dla chwili } T + \Delta t \text{ zgodnie z (44)-(47) lub (55-58)}$$

3.3. Znajdź $\psi_* = \psi(T + \Delta t)$ w obszarze rozwiązując równanie:

$$\nabla^2(\psi_*) = -\omega_* \quad (75)$$

Warto zwrócić uwagę, że do rozwiązania tego równania nie jest potrzebna znajomość ω_* na brzegu!

3.4. Oblicz $\omega_* = \omega(T + \Delta t)$ na brzegu:

$(i, j) \in \Gamma : \omega_*(i, j) = \text{dla chwili } T + \Delta t \text{ zgodnie z (31) i (33) (wzór I rzędu) albo (32) i (34) (wzór II rzędu)}$

Przejdź do (5.).

4. Algorytm Cranka-Nicholsona.

4.1. Zainicjuj (pierwsze przybliżenie):

$$\omega_* := \omega$$

$$\psi_* := \psi$$

dla $(i, j) \in \Gamma : \psi_*(i, j) =$ dla chwili $T + \Delta t$ zgodnie z (44)-(47) lub (55-58)

4.2. Oblicz pole prędkości w chwili $T + \Delta t$:

$(i, j) \in \Gamma : u_*(i, j) =$ dla chwili $T + \Delta t$ zgodnie z (36),(38),(40),(42) lub (53),(54)

$(i, j) \in \Gamma : v_*(i, j) =$ dla chwili $T + \Delta t$ zgodnie z (37),(39),(41),(43)

$$2 \leq (i, j) \leq N - 1 : u_*(i, j) = \frac{\psi_*(i, j + 1) - \psi_*(i, j - 1)}{2hH_*} \quad (76)$$

$$2 \leq (i, j) \leq N - 1 : v_*(i, j) = -\frac{\psi_*(i + 1, j) - \psi_*(i - 1, j)}{2hL} \quad (77)$$

Zapamiętaj wartość ψ_* :

$$\psi_{old} = \psi_*$$

4.3. Oblicz kolejne przybliżenie ω_* :

a) Zdefiniuj:

$$P = -u(i, j) \frac{\omega(i + 1, j) - \omega(i - 1, j)}{2hL} - \left(v(i, j) - y\dot{H} \right) \frac{\omega(i, j + 1) - \omega(i, j - 1)}{2hH} + \nu \frac{\omega(i - 1, j) - 2\omega(i, j) + \omega(i + 1, j)}{(hL)^2} + \nu \frac{\omega(i, j - 1) - 2\omega(i, j) + \omega(i, j + 1)}{(hH)^2} + G(i, j) \quad (78)$$

$$P_* = -u_*(i, j) \frac{\omega_*(i + 1, j) - \omega_*(i - 1, j)}{2hL} - \left(v_*(i, j) - y\dot{H}_* \right) \frac{\omega_*(i, j + 1) - \omega_*(i, j - 1)}{2hH_*} + \nu \frac{\omega_*(i - 1, j) - 2\omega_*(i, j) + \omega_*(i + 1, j)}{(hL)^2} + \nu \frac{\omega_*(i, j - 1) - 2\omega_*(i, j) + \omega_*(i, j + 1)}{(hH_*)^2} + G_*(i, j) \quad (79)$$

b) Wykonaj:

$$2 \leq (i, j) \leq N - 1 : \omega_{**}(i, j) = \omega(i, j) + \frac{\Delta t}{2}(P + P_*) \quad (80)$$

c) Przypisz:

$$\omega_* := \alpha \cdot \omega_* + (1 - \alpha)\omega_{**} \quad (81)$$

4.4. Znajdź ψ_* w obszarze rozwiązując równanie:

$$\nabla^2(\psi_*) = -\omega_* \quad (82)$$

4.5. Oblicz ω_* na brzegu:

$(i, j) \in \Gamma : \omega_*(i, j) =$ dla chwili $T + \Delta t$ zgodnie z (31) i (33) (wzór I rzędu) albo (32) i (34) (wzór II rzędu)

4.6. Oblicz normę i zakończ iterację Cranka-Nicholsona:

$$r = \sqrt{\sum_{1 \leq (i,j) \leq N} (\psi_{old} - \psi_*)^2} \quad (83)$$

Jeśli $r > \epsilon_2$ wróć do (4.2).

5. Ciśnienie w chwili T .

5.1. Oblicz pola prędkości w chwili $T + \Delta t$:

$(i, j) \in \Gamma : u(i, j, T + \Delta T) =$ dla chwili $T + \Delta t$ zgodnie z (36),(38),(40),(42) lub (53),(54)

$(i, j) \in \Gamma : v(i, j, T + \Delta T) =$ dla chwili $T + \Delta t$ zgodnie z (37),(39),(41),(43)

$$2 \leq (i, j) \leq N - 1 : u(i, j, T + \Delta T) = \frac{\psi_*(i, j + 1) - \psi_*(i, j - 1)}{2hH} \quad (84)$$

$$2 \leq (i, j) \leq N - 1 : v(i, j, T + \Delta T) = -\frac{\psi_*(i + 1, j) - \psi_*(i - 1, j)}{2hL} \quad (85)$$

5.2. Jeśli $T \neq 0$, oblicz pola pochodnych cząstkowych prędkości po czasie w chwili T :

Uwaga: jeśli $T = 0$, to użyj analogicznych wzorów I stopnia.

$$1 \leq (i, j) \leq N : u_t(i, j, T) = \frac{u(i, j, T + \Delta t) - u(i, j, T - \Delta t)}{2\Delta t} \quad (86)$$

$$1 \leq (i, j) \leq N : v_t(i, j, T) = \frac{v(i, j, T + \Delta t) - v(i, j, T - \Delta t)}{2\Delta t} \quad (87)$$

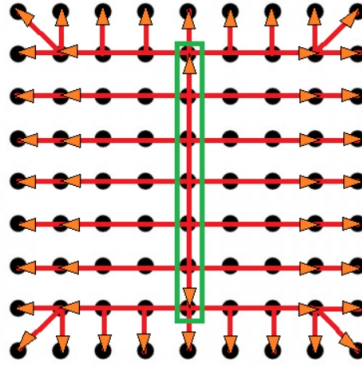
5.3. Oblicz pochodne ciśnienia po kierunkach ξ i η za pomocą (63) i (64):

Uwaga: pola $u(i, j)$ i $v(i, j)$ pochodzą z chwili czasowej T !

$$\begin{aligned} 2 \leq (i, j) \leq N - 1 : \frac{\partial p}{\partial \xi} = \\ \rho \left[-Lu_t(i, j, T) - u(i, j) \frac{u(i + 1, j) - u(i - 1, j)}{2h} - \frac{L}{H} (v(i, j) - \eta \dot{H}_*) \frac{u(i, j + 1) - u(i, j - 1)}{2h} + \right. \\ \left. \nu \frac{1}{L} \frac{u(i - 1, j) - 2u(i, j) + u(i + 1, j)}{2h} + \nu \frac{L}{H^2} \frac{u(i, j - 1) - 2u(i, j) + u(i, j + 1)}{2h} + f_1(i, j) \right] \end{aligned} \quad (88)$$

$$\begin{aligned}
2 \leq (i, j) \leq N-1 : \frac{\partial p}{\partial \eta} = \\
\rho \left[-H v_t(i, j, T) - \frac{H}{L} u(i, j) \frac{v(i+1, j) - v(i-1, j)}{2h} - \left(v(i, j) - \eta \dot{H} \right) \frac{v(i, j+1) - v(i, j-1)}{2h} + \right. \\
\left. \nu \frac{H}{L^2} \frac{v(i-1, j) - 2v(i, j) + v(i+1, j)}{2h} + \nu \frac{1}{H} \frac{v(i, j-1) - 2v(i, j) + v(i, j+1)}{2h} + f_2(i, j) \right]
\end{aligned} \tag{89}$$

5.4. Oblicz ciśnienie.



Rysunek 5: Schematyczny sposób wyznaczania ciśnienia w a) - g) z zaznaczoną środkową kolumną. Strzałka oznacza iterowanie we wskazanym kierunku.

a) Przyjmij zerowe ciśnienie w środku:

$$p\left(\frac{N+1}{2}, \frac{N+1}{2}\right) = 0$$

b) Oblicz iteracyjnie* ciśnienie w górnej części środkowej kolumny o indeksie $i = \frac{N+1}{2}$ stosując (69):

$$\frac{N+1}{2} \leq j \leq N-2 : p\left(\frac{N+1}{2}, j+1\right) = p\left(\frac{N+1}{2}, j\right) + \frac{h}{2} \left[\frac{\partial p}{\partial \eta}\left(\frac{N+1}{2}, j\right) + \frac{\partial p}{\partial \eta}\left(\frac{N+1}{2}, j+1\right) \right] \tag{90}$$

c) Oblicz iteracyjnie* ciśnienie w dolnej części środkowej kolumny o indeksie $i = \frac{N+1}{2}$ stosując (69):

$$\frac{N+1}{2} \geq j \geq 3 : p\left(\frac{N+1}{2}, j-1\right) = p\left(\frac{N+1}{2}, j\right) - \frac{h}{2} \left[\frac{\partial p}{\partial \eta}\left(\frac{N+1}{2}, j\right) + \frac{\partial p}{\partial \eta}\left(\frac{N+1}{2}, j-1\right) \right] \tag{91}$$

d) Startując z wierzchołków kolumny o indeksie $i = \frac{N+1}{2}$, oblicz iteracyjnie* ciśnienie w każdym wierszu na prawo od kolumny, stosując (68):

$$\frac{N+1}{2} \leq i \leq N-2 : p(i+1, j) = p(i, j) + \frac{h}{2} \left[\frac{\partial p}{\partial \eta}(i, j) + \frac{\partial p}{\partial \eta}(i+1, j) \right] \tag{92}$$

e) Startując z wierzchołków kolumny o indeksie $i = \frac{N+1}{2}$, oblicz iteracyjnie* ciśnienie w każdym wierszu na lewo od kolumny, stosując (68):

$$\frac{N+1}{2} \geq i \geq 3 : p(i+1, j) = p(i, j) - \frac{h}{2} \left[\frac{\partial p}{\partial \eta}(i, j) + \frac{\partial p}{\partial \eta}(i+1, j) \right] \quad (93)$$

f) Wyznacz ciśnienie na pominiętych brzegach za pomocą wzorów (70) i (71):

ściana górna:

$$2 \leq i \leq N-1 : p(i, N) = p(i, N-1) + h[1.5p_\eta(i, N-1) - 0.5p_\eta(i, N-2)] \quad (94)$$

ściana dolna:

$$2 \leq i \leq N-1 : p(i, 1) = p(i, 2) - h[1.5p_\eta(i, 1) - 0.5p_\eta(i, 3)] \quad (95)$$

ściana prawa:

$$2 \leq j \leq N-1 : p(N, j) = p(N-1, j) + h[1.5p_\xi(N-1, j) - 0.5p_\xi(N-2, j)] \quad (96)$$

ściana lewa:

$$2 \leq j \leq N-1 : p(1, j) = p(2, j) - h[1.5p_\xi(2, j) - 0.5p_\xi(3, j)] \quad (97)$$

g) Wyznacz ciśnienie w pominiętych narożnikach:

$$\begin{aligned} p(N, N) &= p(N-1, N-1) + h \frac{\partial p}{\partial \xi}(N-1, N-1) + h \frac{\partial p}{\partial \eta}(N-1, N-1) \\ p(1, N) &= p(2, N-1) - h \frac{\partial p}{\partial \xi}(2, N-1) + h \frac{\partial p}{\partial \eta}(2, N-1) \\ p(N, 1) &= p(N-1, 2) + h \frac{\partial p}{\partial \xi}(N-1, 2) - h \frac{\partial p}{\partial \eta}(N-1, 2) \end{aligned}$$

*iteracyjnie oznacza przechodzenie po kolei po rosnącym/malejącym indeksie i/j .

6. Zakończenie iteracji po czasie.

Przypisz:

$$\omega := \omega_*$$

$$\psi := \psi_*$$

$$u := u(i, j, T + \Delta t)$$

$$v := v(i, j, T + \Delta t)$$

$$T := T + \Delta t$$

Jeśli $T < T_{max}$ wróć do (3.).

Uwaga: ciśnienie w chwili $T = T_{max}$ można policzyć wzorami analogicznymi do (86) i (87), zakładając przybliżenia:

$$u_t(T_{max}) \approx u_t(T_{max} - \Delta t)$$

$$v_t(T_{max}) \approx v_t(T_{max} - \Delta t)$$

6 Multigrid.

Bez niego rozwiązanie równania $\nabla^2 \psi = -\omega$ z dokładnością wymaganą do poprawnego obliczenia ciśnienia byłoby niemożliwe w realnym czasie.

Algorytm

Znajdź pole X z równania:

$$\nabla^2 X = -Y \quad (98)$$

z dokładnością do ϵ_1 na konkretnej siatce rzadkiej* (zdefiniowanej stopniem multigrada m).

***UWAGA:** Aby obliczyć (96) na **pełnej siatce** ze wskazaną dokładnością ϵ_1 i możliwie najszybciej, konieczne jest wywołanie funkcji "multigrid" kilka razy, z różnymi parametrami m i k (znaczenie parametrów opisane w poniższym pkt. 1.). **Więcej informacji w sekcji "Dodatek".**

1. Przyjmij argumenty:

$X(\xi, \eta)$ - szukane pole, znane dokładnie na brzegu, mniej dokładnie w środku (lub wcale nieznane w środku)

$Y(\xi, \eta)$ - pole znane co najmniej we wnętrzu (bez brzegu)

m - stopień multigrada, potęga liczby 2

k - ilość operacji "wygładzania" prostym algorytmem Gauss-Seidel, jest to końcowy etap funkcji multigrid

Ponadto zdefiniuj tablice:

$r(i, j)$ - wektor residuuów

$temp(i, j)$ - tablica pomocnicza, będąca kopią tablicy $r(i, j)$ na rzadkiej siatce

$e(i, j)$ - wektor błędów siatki rzadkiej

2. Znajdź wektor residuuów na siatce wyjściowej (pełnej):

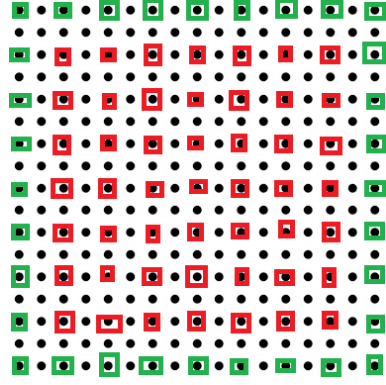
$$2 \leq (i, j) \leq N-1 : r(i, j) = -Y(i, j) - \frac{X(i+1, j) - 2X(i, j) + X(i-1, j))}{(hL)^2} - \frac{X(i, j+1) - 2X(i, j) + X(i, j-1))}{(hH_*)^2} \quad (99)$$

3. Stwórz siatkę rzadką, o rozmiarze $N' = \frac{N-1}{m} + 1$:

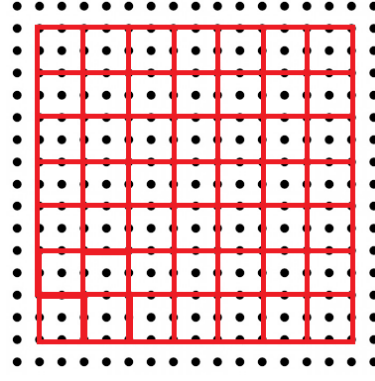
Aby stworzyć siatkę m razy rzadszą, należy \log_2^m razy zastosować schemat pomniejszania siatki przedstawiony schematycznie na rysunku 5.

W działającym kodzie wygląda to tak:

pętla($p := 2$; $p \leq m$; $p := 2 \cdot p$)



(a) czerwone - punkty, po których iterujemy, pod koniec dołączamy też zielone punkty brzegowe



(b) punkty na obwodzie kwadratów składają się na wartość w punkcie w środku danego kwadratu

Rysunek 6: na przykładzie siatki o $N = 2^4 + 1$: schemat tworzenia siatki 2 razy mniejszej, czyli o $N' = \frac{2^4+1-1}{2} + 1 = 2^3 + 1$ (licząc też punkty na brzegu)

$$\begin{aligned}
 &\text{pętla}(i := 1 + p ; i \leq N - p ; i := i + p) \\
 &\quad \text{pętla}(j := 1 + p ; j \leq N - p ; j := j + p) \\
 &\quad \quad temp(i, j) = \left\{ r(i + \frac{p}{2}, j + \frac{p}{2}) + r(i + \frac{p}{2}, j - \frac{p}{2}) + r(i - \frac{p}{2}, j + \frac{p}{2}) + r(i - \frac{p}{2}, j - \frac{p}{2}) + \right. \\
 &\quad \quad \quad \left. 2 \cdot \left[r(i + \frac{p}{2}, j) + r(i - \frac{p}{2}, j) + r(i, j + \frac{p}{2}) + r(i, j - \frac{p}{2}) \right] + 4 \cdot r(i, j) \right\} / 16
 \end{aligned}$$

Wartość w komórce (i, j) tablicy $temp$ jest uśrednieniem wartości tablicy r wewnątrz kwadratu $\langle i - 1, i + 1 \rangle \times \langle j - 1, j + 1 \rangle$. Wartości z kwadratu są wzięte z pewnymi wagami: wierzchołki z wagą $1/16$, punkty środkowe boków z wagą $1/8$, środek z wagą $1/4$.

4. Oblicz wektor błędu $e(i, j)$ siatki rzadkiej:

ustal wartość początkową tablicy błędu:

$$1 \leq i, j \leq N : e(i, j) = 0$$

zdefiniuj zmienne i przypisz wartości:

$$r := \infty, l := 0$$

dopóki $(r > \epsilon_1) \vee (l < 3)$:

$$\text{a) } r := 0, l := l + 1$$

$$\text{b) dla } (1 + m \leq i, j \leq N - m) \wedge (i \bmod m \equiv 0) \wedge (j \bmod m \equiv 0) \text{ wykonaj (98), (99), (100).}$$

$$\text{c) wykonaj (101).}$$

$$e_*(i, j) := \left[\frac{e(i - m, j) + e(i + m, j)}{L^2} + \frac{e(i, j - m) + e(i, j + m)}{H_*^2} - (m \, dx)^2 temp(i, j) \right] / \left(\frac{2}{L^2} + \frac{2}{H_*^2} \right) \quad (100)$$

$$e_*(i, j) := -0.5e(i, j) + 1.5e_*(i, j) \quad (101)$$

$$r := r + [e_*(i, j) - e(i, j)]^2 \quad (102)$$

$$e := e_*, \quad r := \sqrt{r} \quad (103)$$

5. Interpoluj wektor błędu $e(i, j)$ na siatkę wyjściową:

Aby stworzyć siatkę m razy gęstszą, przy pomocy interpolacji liniowej, należy \log_2^m razy zastosować schemat interpolacji siatki.

W działającym kodzie wygląda to tak:

```
pętla( p := m ; p ≥ 2 ; p := p/2 )
  pętla( i := 1 ; i ≤ N - p ; i := i + p )
    pętla( j := 1 ; j ≤ N - p ; j := j + p )
       $e(i + \frac{p}{2}, j) = \frac{e(i, j) + e(i+p, j)}{2}$ 
       $e(i, j + \frac{p}{2}) = \frac{e(i, j) + e(i, j+p)}{2}$ 
       $e(i + \frac{p}{2}, j + \frac{p}{2}) = \frac{e(i, j) + e(i+p, j) + e(i, j+p) + e(i+p, j+p)}{4}$ 
```

6. Dodaj wektor błędu $e(i, j)$ do tablicy $X(i, j)$:

$$2 \leq (i, j) \leq N - 1 : X(i, j) := X(i, j) + e(i, j)$$

7. Wygładź tablicę $X(i, j)$:

Wykonaj k iteracji Gauss-Seidel na pełnej siatce.

zdefiniuj zmienne i przypisz wartości:

$$r := \infty, \quad l := 0$$

dopóki $(r > \epsilon_1) \wedge (l < k)$:

a) $r := 0, \quad l := l + 1$

b) dla $2 \leq (i, j) \leq N - 1$ wykonaj (102),(103),(104).

c) wykonaj (105).

$$X_*(i, j) := \left[\frac{X(i-1, j) + X(i+1, j)}{L^2} + \frac{X(i, j-1) + X(i, j+1)}{H_*^2} + dx^2 Y(i, j) \right] / \left(\frac{2}{L^2} + \frac{2}{H_*^2} \right) \quad (104)$$

$$X_*(i, j) := -0.5X(i, j) + 1.5X_*(i, j) \quad (105)$$

$$r := r + [X_*(i, j) - X(i, j)]^2 \quad (106)$$

$$X := X_*, \quad r := \sqrt{r} \quad (107)$$

Dodatek

Optymalne wywołania funkcji **multigrid** gwarantujące dużą szybkość. Dobrane "ręcznie" dla kilku rozmiarów siatek:

a) $N = 128 + 1$:

$multigrid(m = 8, k = 8)$

$multigrid(m = 4, k = 4)$

$multigrid(m = 2, k = 2)$

$multigrid(m = 1, k = 1)$

b) $N = 256 + 1$:

$multigrid(m = 16, k = 10)$

$multigrid(m = 8, k = 8)$

$multigrid(m = 4, k = 6)$

$multigrid(m = 2, k = 4)$

$multigrid(m = 1, k = 1)$

c) $N = 512 + 1$:

$multigrid(m = 32, k = 25)$

$multigrid(m = 16, k = 10)$

$multigrid(m = 8, k = 5)$

$multigrid(m = 4, k = 5)$

$multigrid(m = 2, k = 3)$

$multigrid(m = 1, k = 1)$

Zauważmy, że wywołanie $multigrid(m = 1, k = 1)$ odpowiada najprostszemu Gauss-Seidelowi na pełnej siatce.

7 Błąd obliczenia pól prędkości.

Zakładamy znane rozwiązanie analityczne składowych prędkości, na podstawie których obliczymy ψ i ω .

Na podstawie ω znajdziemy pole sił objętościowych (lub jakąś jego formę, w tym przypadku rotację) spełniające równanie (22).

Z przekształcenia (22):

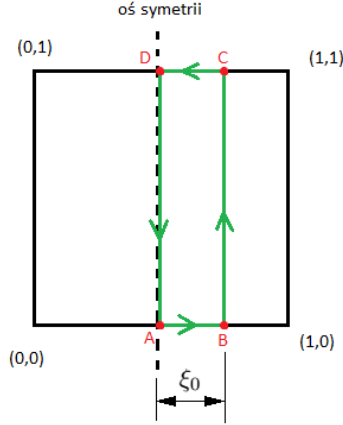
$$\frac{1}{L} \frac{\partial f_2}{\partial \xi} - \frac{1}{H} \frac{\partial f_1}{\partial \eta} = \frac{\partial \omega}{\partial t} + \frac{1}{L} u \frac{\partial \omega}{\partial \xi} + \frac{1}{H} (v - \dot{H} \eta) \frac{\partial \omega}{\partial \eta} - \nu \left[\frac{1}{L^2} \frac{\partial^2 \omega}{\partial \xi^2} + \frac{1}{H^2} \frac{\partial^2 \omega}{\partial \eta^2} \right] \quad (108)$$

Założmy, że profil prędkości $u(\xi, \eta)$ jest w każdym przekroju $\xi = \xi_0$ parabolą:

$$u(\xi, \eta) = -a(\xi) \cdot \eta(1 - \eta) \frac{3L\dot{H}}{H} \quad (109)$$

funkcja $a(\xi)$ nie zależy od zmiennej η , tzn. $\frac{\partial a}{\partial \eta} = 0$

Wyberzmy kontur prostokąta o wierzchołkach $A(0.5, 0)$, $B(\xi_0, 0)$, $C(\xi_0, 1)$, $D(0.5, 1)$ (rysunek 7.).



Rysunek 7: rysunek poglądowy konturu prostokąta

Zdefiniujmy: $\psi_{P_2-P_1} = \psi(P_2) - \psi(P_1)$

ψ musi być ciągle wzdłuż dowolnego zamkniętego konturu, co można zapisać:

$$\psi_{A-B} + \psi_{B-C} + \psi_{C-D} + \psi_{D-A} = 0 \quad (110)$$

Ponieważ odcinki A-B i C-D należą do brzegu, to następujące wartości są znane:

$$\psi_{A-B} = 0 \quad (111)$$

Stosując wzór (44):

$$\psi_{C-D} = \psi(0.5, 1) - \psi(\xi_0, 1) = \psi_G(0.5) - \psi_G(\xi_0) = \frac{L\dot{H}}{2}(1 - 2 \cdot 0.5) - \frac{L\dot{H}}{2}(1 - 2 \cdot \xi_0) = -\frac{L\dot{H}}{2}(1 - 2\xi_0) \quad (112)$$

Ponieważ odcinek D-A jest osią symetrii, to zachodzi (nie ma wydatku przepływu przez oś symetrii):

$$\psi_{D-A} = 0 \quad (113)$$

Pozostaje:

$$\psi_{B-C} = \frac{L\dot{H}}{2}(1 - 2\xi_0) \quad (114)$$

ψ_{B-C} jest wydatkiem przez linię B-C, czyli:

$$\psi_{B-C} = \int_0^1 u(x, y) dy = H \int_0^1 u(\xi, \eta) d\eta \quad (115)$$

Podstawiając (107) i (112) do (113) obliczamy funkcję $a(\xi)$:

$$a(\xi) = (2\xi - 1) \quad (116)$$

Ostatecznie:

$$u(\xi, \eta) = -\frac{3L\dot{H}}{H}\eta(1 - \eta)(2\xi - 1) \quad (117)$$

Zatem profil prędkości u (na kierunku ξ) zmienia się liniowo od wartości $u_L = \frac{3L\dot{H}}{H}\eta(1-\eta)$ na lewym brzegu ($\xi = 0$) do wartości $u_P = -\frac{3L\dot{H}}{H}\eta(1-\eta)$ na prawym brzegu ($\xi = 1$).

Rozkład prędkości v (na kierunku η) otrzymujemy z przekształconego równania ciągłości:

$$\frac{\partial u}{\partial x} + \frac{\partial v}{\partial y} = 0 \longrightarrow \frac{1}{L} \frac{\partial u}{\partial \xi} + \frac{1}{H} \frac{\partial v}{\partial \eta} = 0 \quad (118)$$

Wstawiając (115):

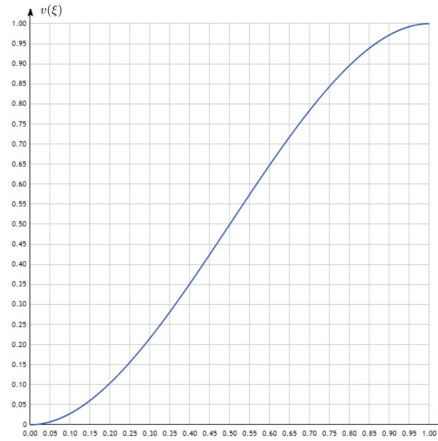
$$\frac{\partial v}{\partial \eta} = -\frac{H}{L} \frac{\partial u}{\partial \xi} = -\frac{H}{L} \cdot (-1) \frac{3L\dot{H}}{H} \eta(1-\eta) \cdot 2 = 6\dot{H}\eta(1-\eta) \quad (119)$$

Całkując z warunkiem brzegowym $v(\eta = 0) = 0$ otrzymujemy:

$$v(\xi, \eta) = \dot{H}(3\eta^2 - 2\eta^3) \quad (120)$$

Warunek brzegowy $v(\eta = 1) = \dot{H}$ został spełniony automatycznie.

Zauważmy że rozkład prędkości v na brzegach **nie jest liniowy**, tak jak założyliśmy na początku paragrafu 3. (patrz: Rysunek 8.) Warunek na prędkość styczną okazał się nadmiarowym warunkiem brzegowym (*w rozwiązaniu numerycznym*: w wierzchołku siatki najbliższym brzegowi [ale nie na brzegu] rozkład v będzie poprawny, a na samym brzegu nie).



Rysunek 8: rozkład prędkości $v(\xi) = 2\eta^3 - 3\eta^2$ w poprzek rury dla $\dot{H} = 1$

Podsumowując, założyliśmy następujący profil prędkości:

$$[u(\xi, \eta), v(\xi, \eta)] = \left[-\frac{3L\dot{H}}{H} \eta(1-\eta)(2\xi - 1), \dot{H}(3\eta^2 - 2\eta^3) \right] \quad (121)$$

Przekłada się on na następującą **wirowość** $\omega(\xi, \eta)$:

$$\omega = \frac{\partial v}{\partial x} - \frac{\partial u}{\partial y} = \frac{1}{L} \frac{\partial v}{\partial \xi} - \frac{1}{H} \frac{\partial u}{\partial \eta} = 0 - \frac{1}{H} \cdot (-1) \frac{3L\dot{H}}{H} (1 - 2\eta)(2\xi - 1) \quad (122)$$

$$\omega = -\frac{3L\dot{H}}{H^2} (2\eta - 1)(2\xi - 1) \quad (123)$$

Funkcja prądu $\psi(\xi, \eta)$ przyjmie postać:

$$\psi = -\frac{L\dot{H}}{2} (3\eta^2 - 2\eta^3)(2\xi - 1) \quad (124)$$

Obliczmy pochodne:

$$\frac{\partial \omega}{\partial t} = 3L \left(-\frac{\ddot{H}}{H^2} + 2\frac{\dot{H}^2}{H^3} \right) (2\eta - 1)(2\xi - 1) \quad (125)$$

$$\frac{\partial \omega}{\partial \xi} = -\frac{6L\dot{H}}{H^2} (2\eta - 1) \quad (126)$$

$$\frac{\partial \omega}{\partial \eta} = -\frac{6L\dot{H}}{H^2} (2\xi - 1) \quad (127)$$

$$\frac{\partial^2 \omega}{\partial \xi^2} = \frac{\partial^2 \omega}{\partial \eta^2} = 0 \quad (128)$$

Podstawiając (119), (123), (124), (125), (126) do równania (22) i wykonując niezbędne przekształcenia **otrzymamy**:

$$\frac{1}{L} \frac{\partial f_2}{\partial \xi} - \frac{1}{H} \frac{\partial f_1}{\partial \eta} = 3L \left(-\frac{\ddot{H}}{H^2} + 2\frac{\dot{H}^2}{H^3} \right) (2\eta - 1)(2\xi - 1) + \frac{12L\dot{H}^2}{H^3} (-2\eta^3 + 3\eta^2 - \eta)(2\xi - 1) \quad (129)$$

Jeśli przyjmiemy $H(t) = H_0(1 - b t)$, to znajdzie $\ddot{H} = 0$ i powyższe uprości się do postaci:

$$\frac{1}{L} \frac{\partial f_2}{\partial \xi} - \frac{1}{H} \frac{\partial f_1}{\partial \eta} = \frac{6L\dot{H}^2}{H^3} (-4\eta^3 + 6\eta^2 - 1)(2\xi - 1) \quad (130)$$

Ostatecznie równanie (22) przyjmie postać (tylko dla $\ddot{H} = 0$):

$$\frac{\partial \omega}{\partial t} + \frac{1}{L} u \frac{\partial \omega}{\partial \xi} + \frac{1}{H} (v - \dot{H}\eta) \frac{\partial \omega}{\partial \eta} = \nu \left[\frac{1}{L^2} \frac{\partial \omega^2}{\partial \xi^2} + \frac{1}{H^2} \frac{\partial \omega^2}{\partial \eta^2} \right] + \frac{6L\dot{H}^2}{H^3} (-4\eta^3 + 6\eta^2 - 1)(2\xi - 1) \quad (131)$$

Po dołączeniu do równania (131) równań (23),(24),(25), rozwiązaniami analitycznymi układu będą pola (121),(123),(124).

Warunki brzegowe na u, v, ψ określamy według wzorów (36)-(51). Chociaż wiemy że rozkład v na brzegach jest nieliniowy, to w celu wiarygodnego obliczenia błędu metody (co jest celem tego paragrafu) należy przyjąć go tak samo jak w paragrafie 3. (czyli jako liniowy).

Wartości początkowe pól ψ i ω są niezerowe. Należy je określić według wzorów (121) i (122) dla chwili $T = 0$, co zmodyfikuje punkt 2. algorytmu z paragrafu 5. "Dyskretyzacja siatki i algorytm".

8 Błąd obliczenia pola ciśnienia.

Należy przyjąć jakiekolwiek funkcje $f_1(\xi, \eta)$, $f_2(\xi, \eta)$ spełniające zależność (128).

Niech będą one następujące:

$$f_1 = 0 \quad (132)$$

$$f_2 = \frac{6L^2 \dot{H}^2}{H^3} (-4\eta^3 + 6\eta^2 - 1)(\xi^2 - \xi) \quad (133)$$

(130) i (131) należy podstawić do równań (63) i (64) i wyprowadzić wzory na analityczne pochodne ciśnienia $\frac{\partial p}{\partial \xi}$ i $\frac{\partial p}{\partial \eta}$.

Obliczmy pochodne prędkości danych wzorem (119):

Składowa u :

$$u_t = -3L \frac{\ddot{H} - \dot{H}^2}{H^2} \eta(1-\eta)(2\xi-1) \stackrel{\ddot{H}=0}{=} 3L \frac{\dot{H}^2}{H^2} \eta(1-\eta)(2\xi-1) \quad (134)$$

$$u_\xi = -6L \frac{\dot{H}}{H} \eta(1-\eta) \quad (135)$$

$$u_\eta = 3L \frac{\dot{H}}{H} (2\eta-1)(2\xi-1) \quad (136)$$

$$u_{\xi\xi} = 0 \quad (137)$$

$$u_{\eta\eta} = 6L \frac{\dot{H}}{H} (2\xi-1) \quad (138)$$

Składowa v :

$$v_t = \ddot{H}(3\eta^2 - 2\eta^3) \stackrel{\ddot{H}=0}{=} 0 \quad (139)$$

$$v_\xi = 0 \quad (140)$$

$$v_\eta = 6\dot{H}\eta(1-\eta) \quad (141)$$

$$v_{\xi\xi} = 0 \quad (142)$$

$$v_{\eta\eta} = 6\dot{H}(1 - 2\eta) \quad (143)$$

Podstawiając (132)-(136) do równania (63) otrzymamy:

$$\begin{aligned} \frac{\partial p}{\partial \xi} = \rho \left[-3L^2 \frac{\dot{H}^2}{H^2} \eta(1 - \eta)(2\xi - 1) - \right. \\ \left. - \frac{18L^2 \dot{H}^2}{H^2} \eta^2(1 - \eta)^2(2\xi - 1) - \right. \\ \left. - \frac{3L^2 \dot{H}^2}{H^2} (3\eta^2 - 2\eta^3 - \eta)(2\eta - 1)(2\xi - 1) + \right. \\ \left. + \nu \frac{6L^2 \dot{H}}{H^3} (2\xi - 1) + \right. \\ \left. 0 \right] \end{aligned} \quad (144)$$

Zauważmy że: $Re = \frac{\dot{H} \cdot H}{\nu} \longrightarrow \nu = \frac{\dot{H} \cdot H}{Re}$

Wykonując niezbędne przekształcenia dostaniemy:

$$\frac{\partial p}{\partial \xi} = -6\rho L^2 \frac{\dot{H}^2}{H^2} (2\xi - 1) \left(\eta^4 - 2\eta^3 + \eta - \frac{1}{Re} \right) \quad (145)$$

Podstawiając (137)-(141) do równania (64) otrzymamy:

$$\frac{\partial p}{\partial \eta} = \rho \left[-6\dot{H}^2(3\eta^2 - 2\eta^3 - \eta)\eta(1 - \eta) + 6\nu \frac{\dot{H}}{H}(1 - 2\eta) + \frac{6L^2}{H^2} \dot{H}^2(-4\eta^3 + 6\eta^2 - 1)(\xi^2 - \xi) \right] \quad (146)$$

Po maksymalnych uproszczeniach:

$$\frac{\partial p}{\partial \eta} = -6\rho \dot{H}^2(2\eta - 1) \left[(\eta - 1)^2 \eta^2 + \frac{1}{Re} + \frac{L^2}{H^2} (2\eta^2 - 2\eta - 1)(\xi^2 - \xi) \right] \quad (147)$$

Pole ciśnienia związane z pochodnymi (143) i (144) ma poniższą postać:

$$\hat{p}(\xi, \eta) = -6\rho L^2 \frac{\dot{H}^2}{H^2} (\xi^2 - \xi) \left(\eta^4 - 2\eta^3 + \eta - \frac{1}{Re} \right) - 2\rho \dot{H}^2 (\eta^2 - \eta) \left(\eta^4 - 2\eta^3 + \eta^2 + \frac{3}{Re} \right) \quad (148)$$

Wzór może być zmodyfikowany o stałą. Założenie, że **ciśnienie w środku geometrycznym rury jest zerowe** daje poniższy pełny wzór na pole ciśnienia:

$$p(\xi, \eta) = \hat{p}(\xi, \eta) - \hat{p}(0.5, 0.5) \quad (149)$$

9 Wyniki - błędy pól prędkości i ciśnienia.

Przyjęto następujące wielkości globalne:

- 1) $H(t) = 1 - 0.5t$
- 2) $L = 1$
- 3) $\Delta t = 10^{-4}$
- 4) $\epsilon_1 = 10^{-7}$
- 5) $\nu = 10^{-2}$
- 6) $\rho = 1000$

Oraz założenia:

- 7) Algorytm jawnej dyskretyzacji po czasie.
- 8) Pole prędkości na brzegach według (119).
- 9) Funkcja prądu na brzegach według (122).
- 10) Wirowość i funkcja prądu w chwili $T = 0$ według (121) i (122).

Przedmiotem porównywanym jest rozkład wielkości P w przekroju poprzecznym rury, dla danego $\xi = (i - 1) \cdot h$. Przy czym $\xi \in \{0.5, 0.55, 0.6, 0.65, 0.7, 0.75, 0.8, 0.85, 0.9, 0.95, 1\}$, co umożliwia zbadanie rozkładu w dowolnym przekroju rury (od osi symetrii do wylotu).

Błąd δP wartości numerycznej P_* (wynik algorytmu) względem wartości analitycznej P (dokładnej) policzono odchyleniem standardowym:

$$\delta P = \frac{\sqrt{\sum_{j=1}^N [P(i, j) - P_*(i, j)]^2}}{N} \quad (150)$$

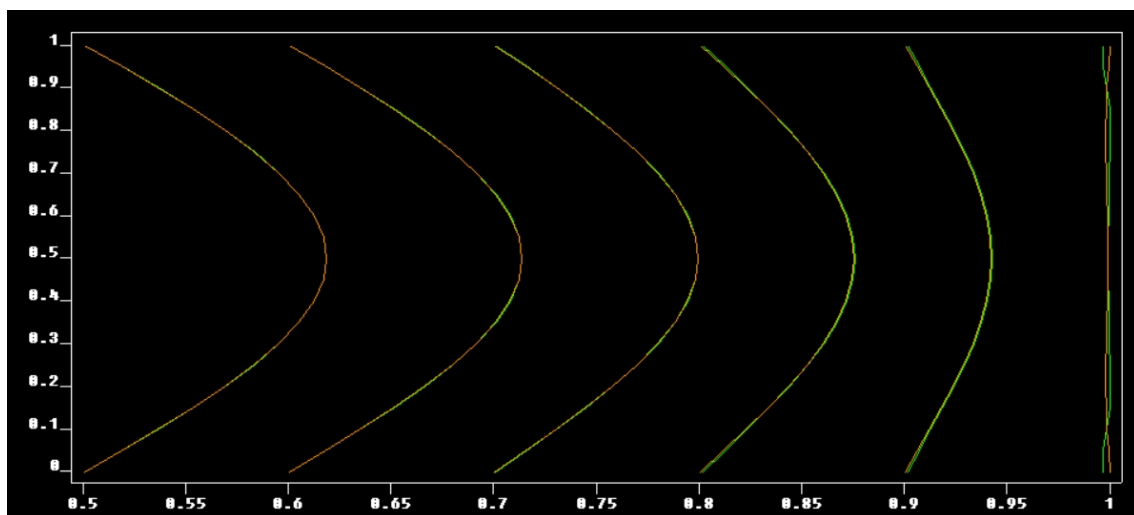
Czas symulacji postępować będzie do przodu, dopóki algorytm nie stanie się niestabilny (ale nie dłużej niż $T_{max} = 3s$).

Wzięto pod uwagę 7 rozmiarów siatki (ilość węzłów wzdłuż boku kwadratu):

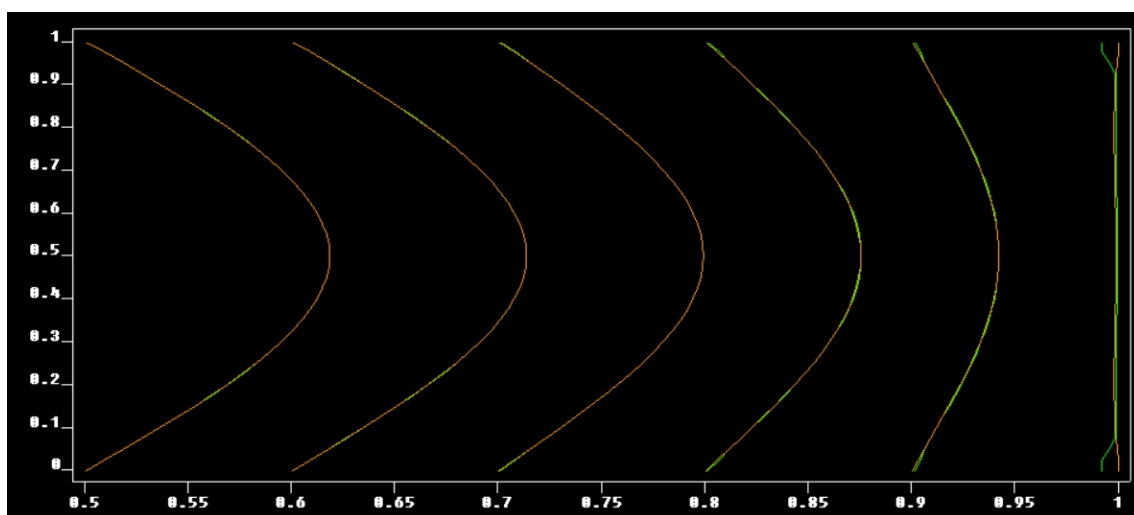
- a) $N = 21$
- b) $N = 41$
- c) $N = 101$
- d) $N = 161$
- e) $N = 201$
- f) $N = 401$

Wymiary siatek wybrano ze względu na logistykę - brane pod uwagę będą przekroje co $\Delta\xi = 0.05$, zatem wygodnie jeśli wielokrotność odległości między dwoma wierzchołkami siatki może być równa 0.05.

Wartości Δt i ϵ_1 dobrano jako największe nie pogarszające dokładności numerycznej jakiegokolwiek z pól (a więc tak, aby **dominujący był błąd dyskretyzacji siatki**).



Rysunek 9: rozkład ciśnienia w przekrojach poprzecznych dla $N = 21$, $T = 0.6s$



Rysunek 10: rozkład ciśnienia w przekrojach poprzecznych dla $N = 41$, $T = 0.6s$

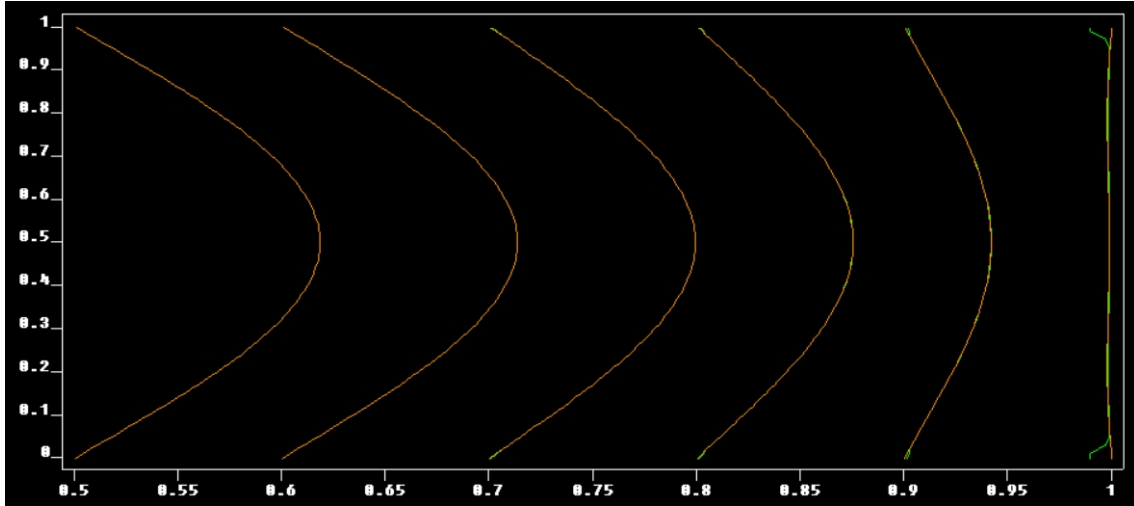
Na rysunkach 9-13 przedstawiono porównanie rozkładów ciśnienia w kilku przekrojach poprzecznych rury, dla $\xi = \{0.5, 0.6, 0.7, 0.8, 0.9, 1.0\}$, przy czym:

- a) kolor zielony - ciśnienie policzone numerycznie.
- b) kolor pomarańczowy - ciśnienie policzone wzorem analitycznym.

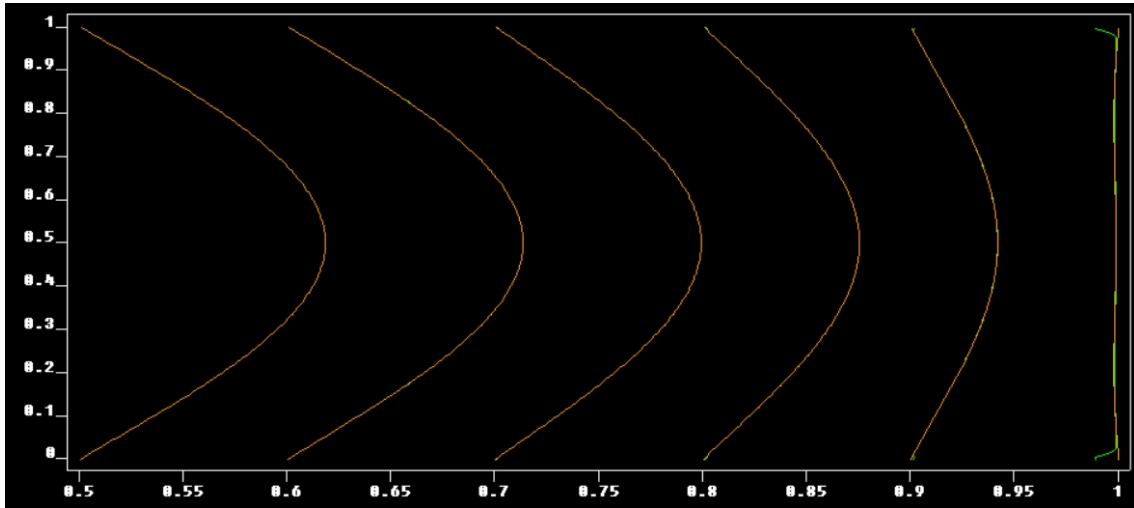
Oba wykresy z danej pary zostały transponowane o tę samą wartość, taką aby wykres pomarańczowy (wzór analityczny) zaczynał się na podziałce poziomej o odpowiadającym ξ .

Na wykresach widać, że **im przekrój dalej od osi symetrii rury, tym błąd jest większy.**

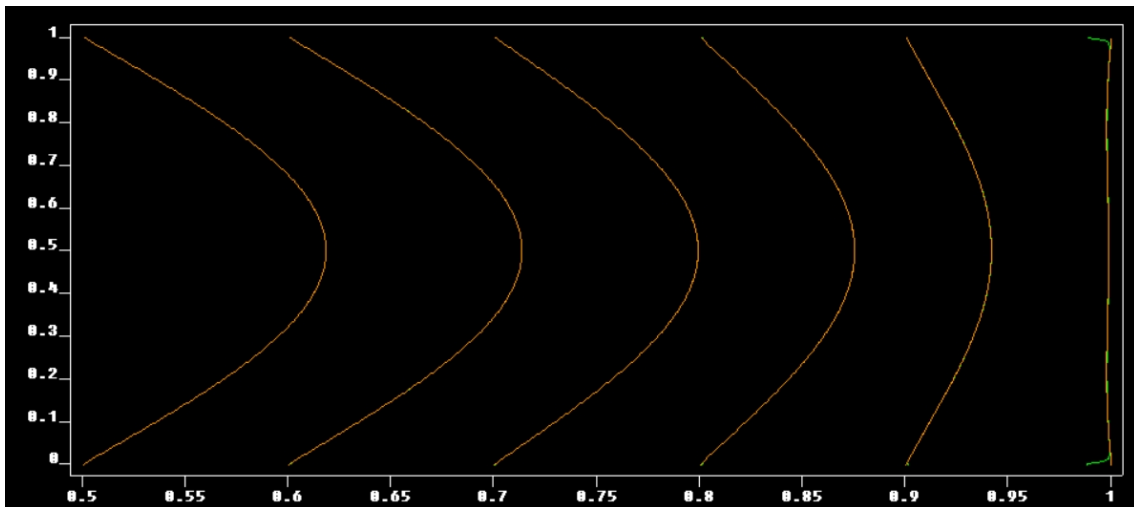
Ponadto, ciśnienie przy brzegach dla przekrojów blisko wylotu jest obarczone poważnym błędem, którego pełne wyeliminowanie jest **niemożliwe w metodzie różnic skończonych**. Należałoby użyć **gęstszej siatki przy brzegu**.



Rysunek 11: rozkład ciśnienia w przekrojach poprzecznych dla $N = 101$, $T = 0.6s$



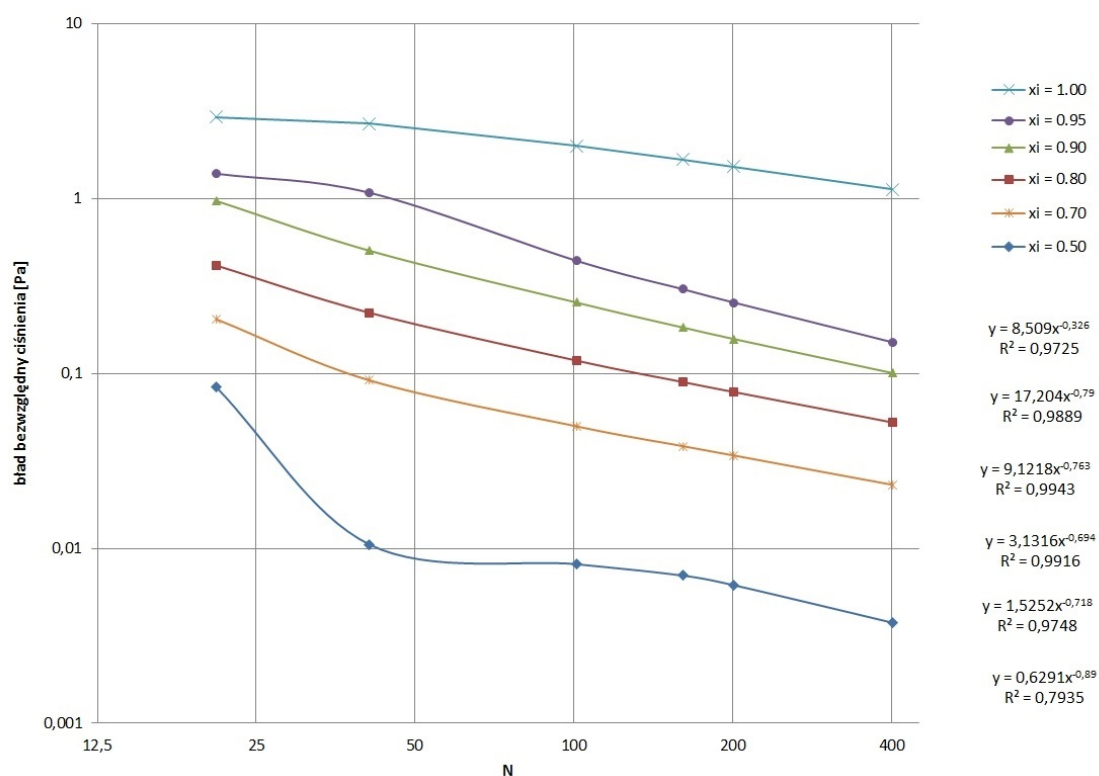
Rysunek 12: rozkład ciśnienia w przekrojach poprzecznych dla $N = 201$, $T = 0.6s$



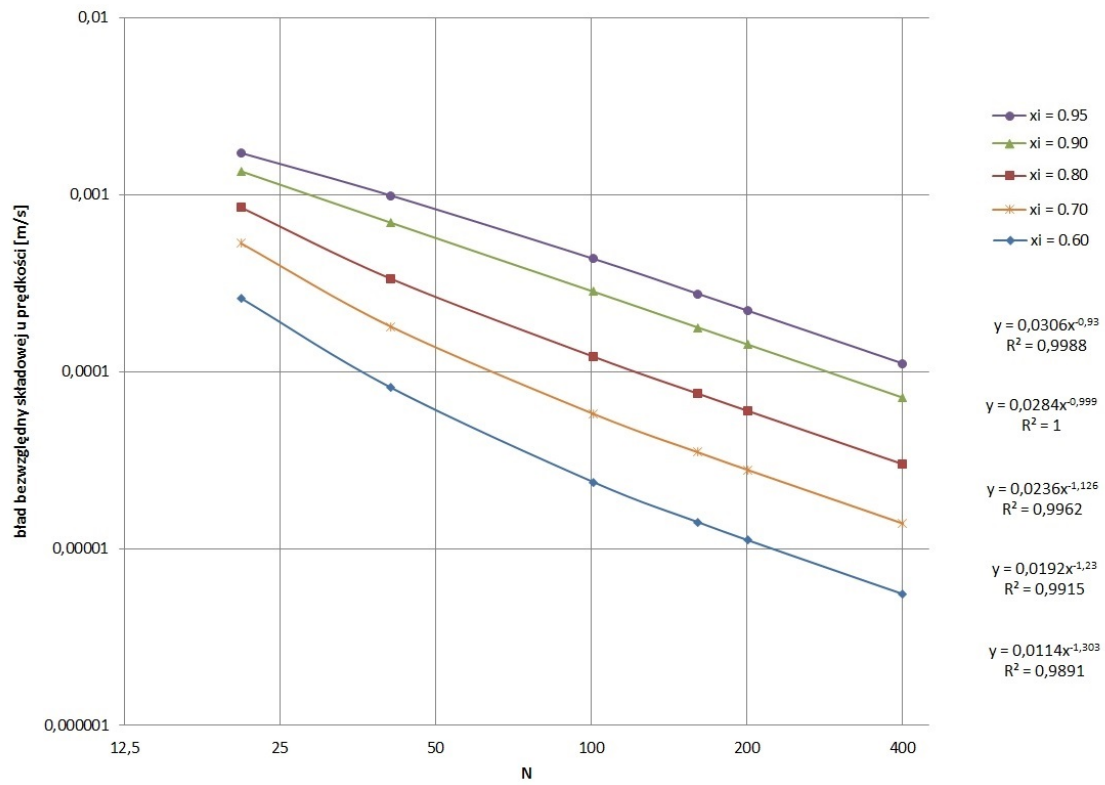
Rysunek 13: rozkład ciśnienia w przekrojach poprzecznych dla $N = 401$, $T = 0.6s$

W późniejszej analizie, już tytułowego zagadnienia przepływowego, wyniki numeryczne przy brzegach, blisko wylotu będzie należało **zignorować i uznać za niezgodne z prawdą**.

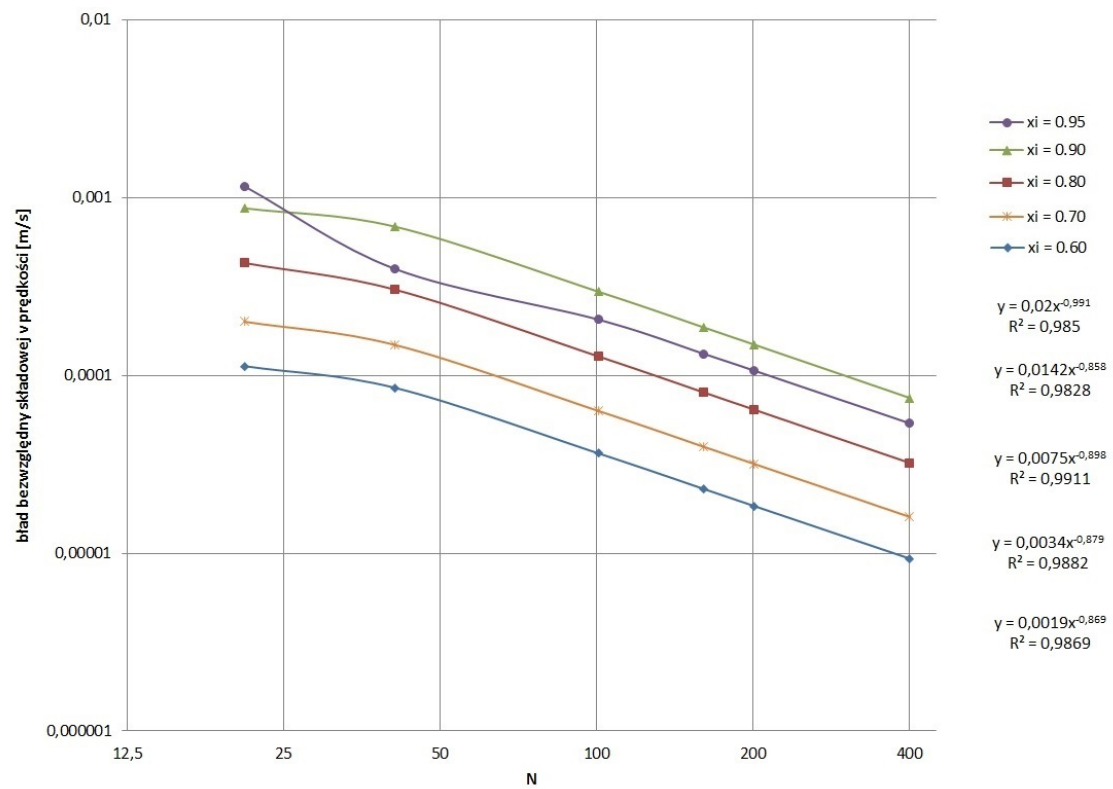
Na rysunkach 15-20, z prawej strony wykresów, pod legendą wypisano równania linii regresji oraz ich dopasowanie R^2 , w kolejności od przekroju najdalszego do najbliższego osi symetrii rury.



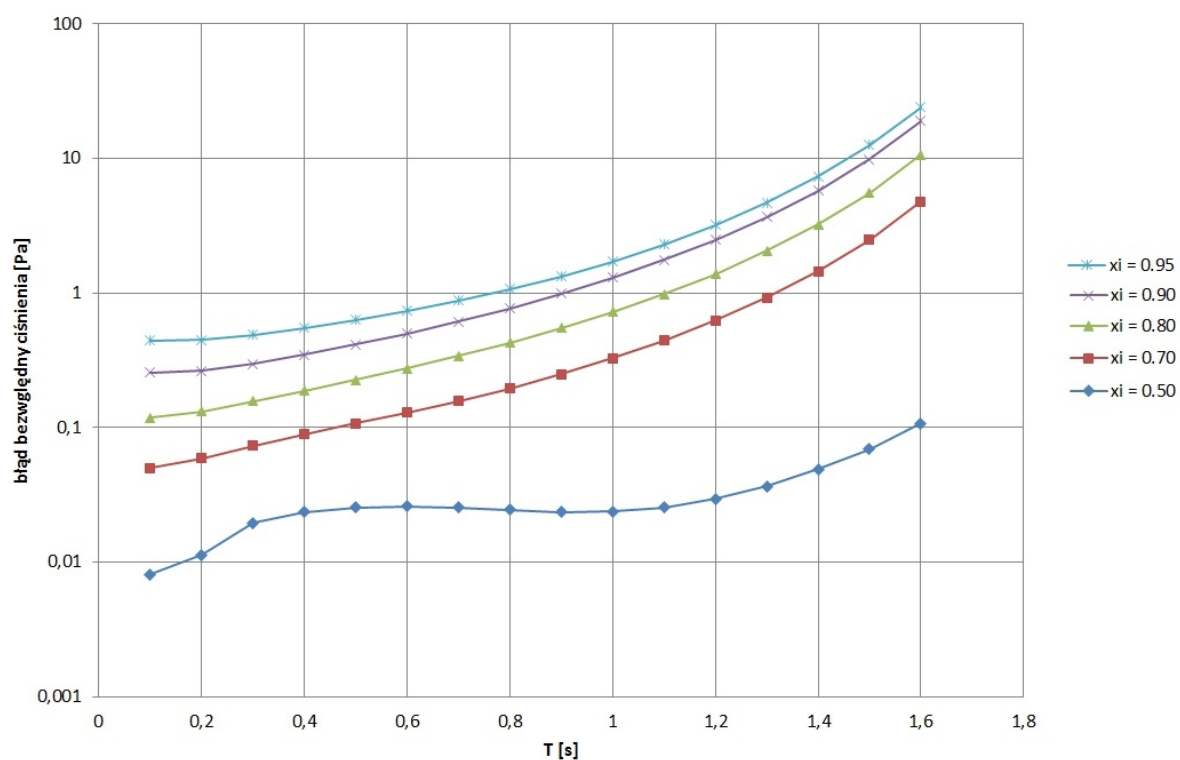
Rysunek 14: błąd ciśnienia, w zależności od położenia przekroju i rozmiaru siatki, $T = 0.1s$



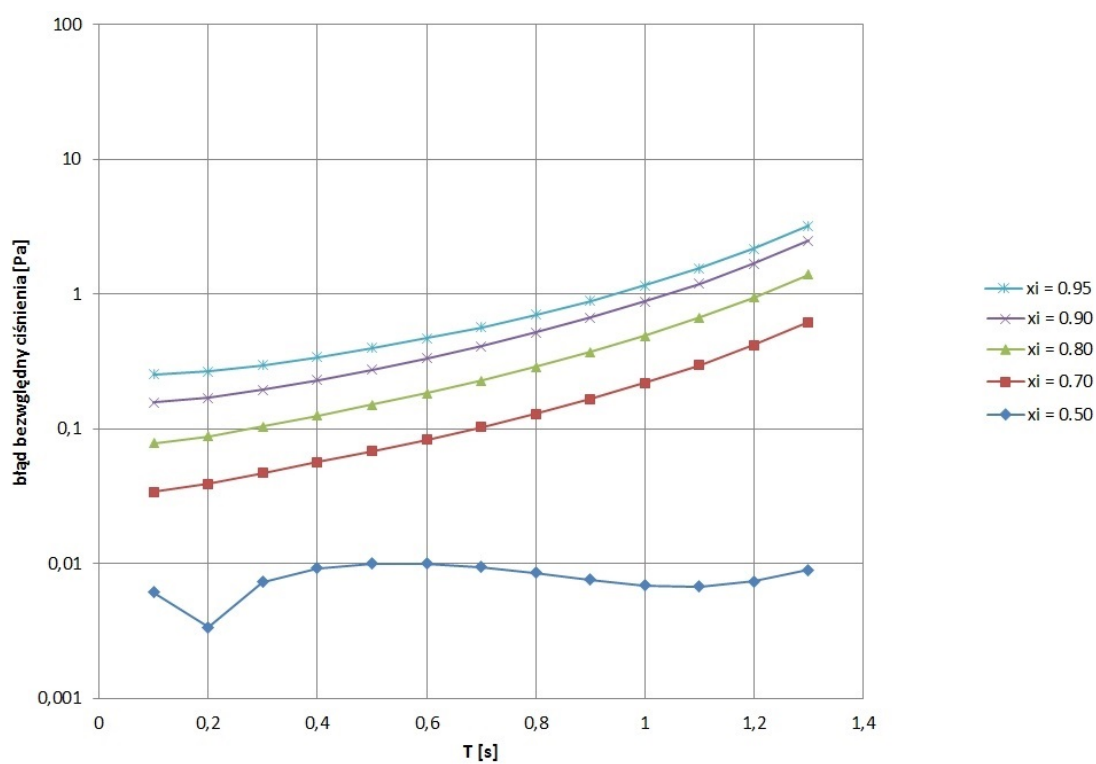
Rysunek 15: błąd składowej u, w zależności od położenia przekroju i rozmiaru siatki, $T = 0.1s$



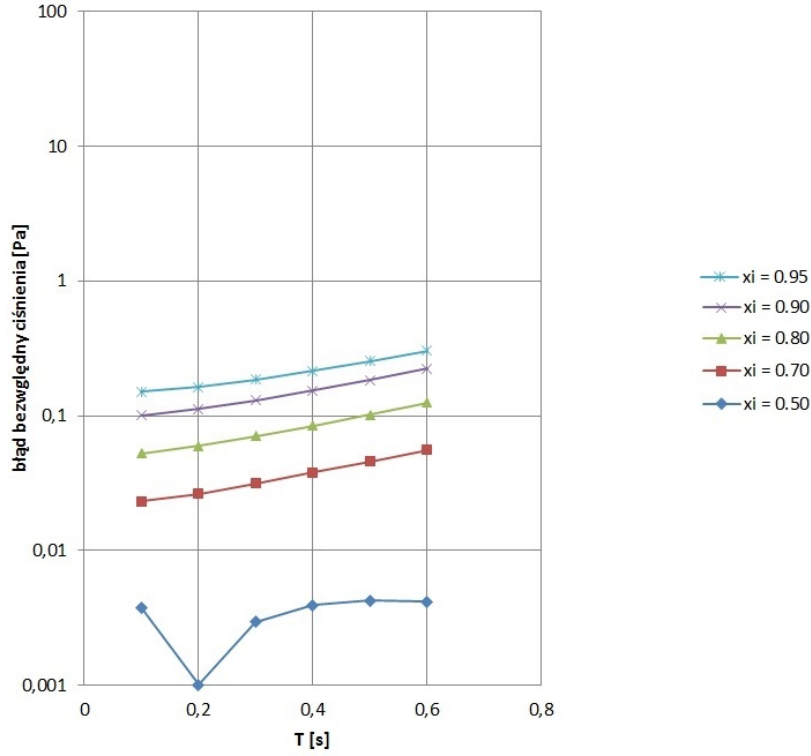
Rysunek 16: błąd składowej v, w zależności od położenia przekroju i rozmiaru siatki, $T = 0.1s$



Rysunek 17: błąd czasu symulacji, ciśnienie w przekrojach, $N = 101$



Rysunek 18: błąd czasu symulacji, ciśnienie w przekrojach, $N = 201$



Rysunek 19: błąd czasu symulacji, ciśnienie w przekrojach, $N = 401$

9.1. Błąd obliczenia ciśnienia (rysunek 14.), w zależności od miejsca położenia przekroju:

$$\begin{aligned}
 \delta p(\xi = 1.00) &= 8.509 \, N^{-0.326} \\
 \delta p(\xi = 0.95) &= 17.204 \, N^{-0.790} \\
 \delta p(\xi = 0.90) &= 9.1218 \, N^{-0.763} \\
 \delta p(\xi = 0.80) &= 3.1316 \, N^{-0.694} \\
 \delta p(\xi = 0.70) &= 1.5252 \, N^{-0.718} \\
 \delta p(\xi = 0.50) &= \text{funkcja niepotęgowa}
 \end{aligned}$$

Współczynnik wykładniczy przy członie z rozmiarem siatki N wynosi raczej $(-0.6) \div (-0.7)$, czyli **zbieżność jest gorsza niż liniowa**.

W przekrojach bardzo bliskich wylotowi, współczynnik ten spada aż do -0.3 , to jest katastrofalne.

9.2. Błąd obliczenia składowej u prędkości (rysunek 15.) maleje **liniowo** względem rozmiaru siatki, niezależnie od miejsca położenia przekroju (te same nachylenia prostych na wykresie):

$$\begin{aligned}
 \delta u(\xi = 0.95) &= 0.0306 \, N^{-0.930} \\
 \delta u(\xi = 0.90) &= 0.0284 \, N^{-0.999} \\
 \delta u(\xi = 0.80) &= 0.0236 \, N^{-1.126} \\
 \delta u(\xi = 0.70) &= 0.0192 \, N^{-1.230} \\
 \delta u(\xi = 0.60) &= 0.0114 \, N^{-1.303}
 \end{aligned}$$

9.3. Błąd obliczenia składowej v prędkości (rysunek 16.) maleje **trochę wolniej niż liniowo** względem rozmiaru siatki (współczynnik wykładniczy przy N około -0.88), niezależnie od miejsca położenia przekroju:

$$\begin{aligned}\delta v(\xi = 0.95) &= 0.0200 N^{-0.991} \\ \delta v(\xi = 0.90) &= 0.0142 N^{-0.858} \\ \delta v(\xi = 0.80) &= 0.0075 N^{-0.898} \\ \delta v(\xi = 0.70) &= 0.0034 N^{-0.879} \\ \delta v(\xi = 0.60) &= 0.0019 N^{-0.869}\end{aligned}$$

9.4. Błąd wynikający z postępu czasu symulacji (rysunki 17-19) jest **funkcją niepotęgową, bliską wykładniczej**.

Im większy rozmiar siatki, tym mniejsza ostateczna wielkość tego błędu.

Wyjątek stanowi wykres błędu dla $\xi = 0.50$, który ma postać nieregularną (prawdopodobnie zmniejszenie wartości ϵ_1 poprawiłoby tę zależność).

9.5. Stabilność. Dla każdego rozmiaru siatki, od pewnej chwili czasowej **algorytm stawał się niestabilny**. Dokładne maksymalne uzyskane czasy symulacji:

- a) $N = 21 \longrightarrow T_{max} = 1.94s$
- b) $N = 41 \longrightarrow T_{max} = 1.88s$
- c) $N = 101 \longrightarrow T_{max} = 1.70s$
- d) $N = 161 \longrightarrow T_{max} = 1.52s$
- e) $N = 201 \longrightarrow T_{max} = 1.38s$
- f) $N = 401 \longrightarrow T_{max} = 0.68s$

10 Ściskanie rurki - wyniki symulacji.

Przyjęto następujące wielkości globalne:

- 1) 2 warianty zależności wysokości rurki od czasu:

$$A) H(t) = 1 - 0.5 t$$

$$B) H(t) = 2^{-t}$$

- 2) $L = 1$
- 3) $\Delta t = 10^{-4}$
- 4) $\epsilon_1 = 10^{-7}$
- 5) $\nu = 10^{-2}$
- 6) $\rho = 1000$

Oraz założenia:

- 7) Algorytm jawnej dyskretyzacji po czasie.
- 8) Pole prędkości na brzegach według (36)-(43).
- 9) Funkcja prądu na brzegach według (44)-(47).
- 10) Wirowość w chwili $T = 0$ wszędzie zerowa.

10.1. Stabilność. Tak jak w symulacji liczącej błąd (paragraf 9.), istnieje ograniczenie na maksymalną chwilę czasową, zależne od liczby N :

wariant A):

a) $N = 101 \longrightarrow T_{max} = 2.68s$

b) $N = 201 \longrightarrow T_{max} = 1.68s$

c) $N = 301 \longrightarrow T_{max} = 1.10s$

wariant B):

a) $N = 101 \longrightarrow T_{max} = 1.70s$

b) $N = 201 \longrightarrow T_{max} = 1.38s$

c) $N = 301 \longrightarrow T_{max} = 1.08s$

Uwaga ogólna: Na rysunkach (20-26) wykresy przekrojów zostały tak przesunięte w poziomie, aby prosta prostopadła do osi, przechodząca przez rzędną o danym ξ , przecinała dany wykres dokładnie w osi rury.

Analiza wariantu A):

Analizując 10.2. zauważamy, że istotnie algorytm zwiększa swoją dokładność dla rosnącego N , z rozbieżnościami głównie przy ściankach i wylotach.

W przypadku stałej w czasie prędkości górnej ścianki (wariant A)), rozkład ciśnienia jest symetryczny względem osi rury.

Analizując rysunki 20-22 widzimy, że rozkład ciśnienia w przekrojach poprzecznych jest prawie stały dla przekrojów odległych o ponad 10% długości rury od jej wylotu.

W przekrojach przywylotowych pojawia się wyraźny spadek ciśnienia w pobliżu osi.

Analiza wariantu B):

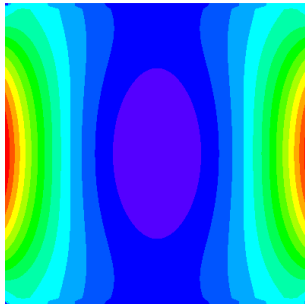
Jeśli prędkość górnej ścianki jest zmienna w czasie, to pole ciśnienia jest niesymetryczne względem osi rury.

Pola prędkości i funkcja prądu (podparagrafy 10.5. i 10.9.) mają podobny charakter, niezależnie od postaci funkcji $H(t)$.

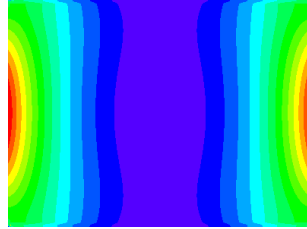
(10.3. i 10.8.) Rozkład ciśnienia w przekroju przywylotowym jest w wariancie B) bardziej równomierny, niż w wariancie A) (**brak wyraźnego spadku ciśnienia w pobliżu osi**).

Wraz z postępem czasu, rozkład ten zdaje się zbiegać do położenia równoległego do linii przekrojów.

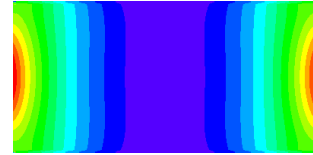
10.2. Wariant A), pole ciśnienia, ewolucja w czasie, 3 różne siatki.



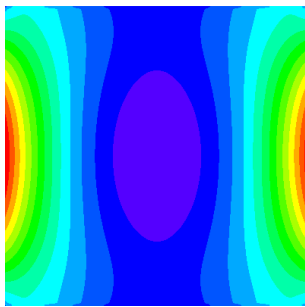
(a) $N = 101$, $T = 0.02s$



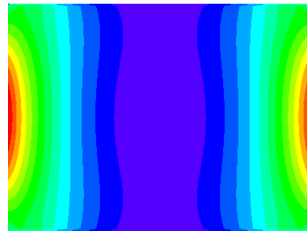
(b) $N = 101$, $T = 0.5s$



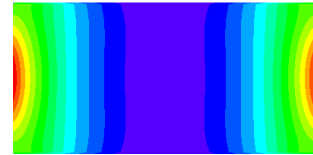
(c) $N = 101$, $T = 1s$



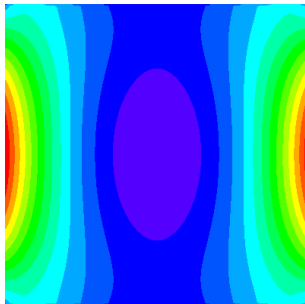
(a) $N = 201$, $T = 0.02s$



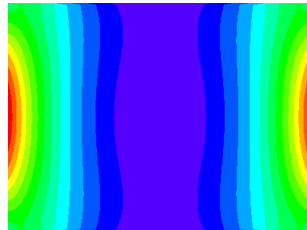
(b) $N = 201$, $T = 0.5s$



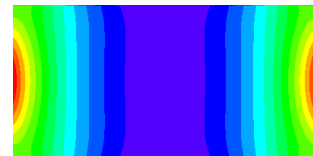
(c) $N = 201$, $T = 1s$



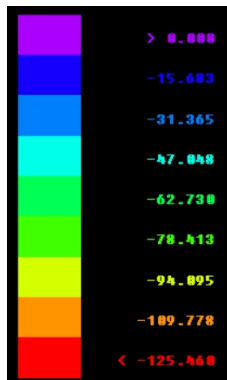
(a) $N = 301$, $T = 0.02s$



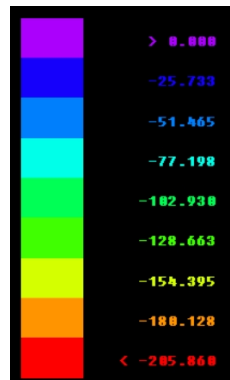
(b) $N = 301$, $T = 0.5s$



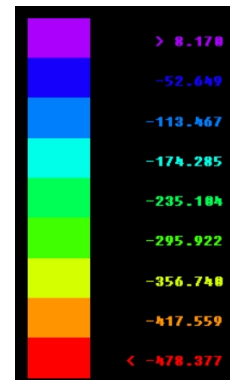
(c) $N = 301$, $T = 1s$



(a) skala, $T = 0.02s$

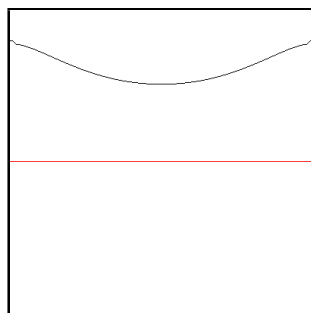


(b) skala, $T = 0.5s$

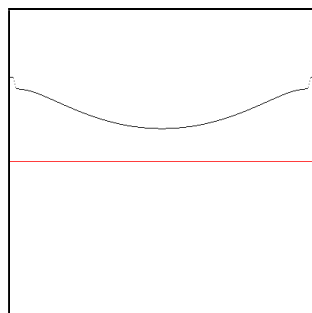


(c) skala, $T = 1s$

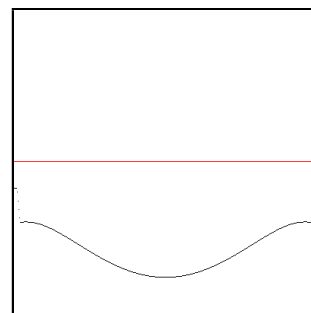
10.3. Wariant A), rozkład ciśnienia w przekroju poprzecznym dla $\xi = 0.95$, ewolucja w czasie, 3 różne siatki.



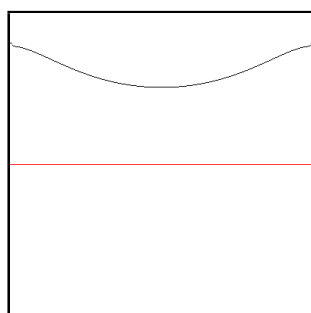
(a) $N = 101, T = 0.02s$



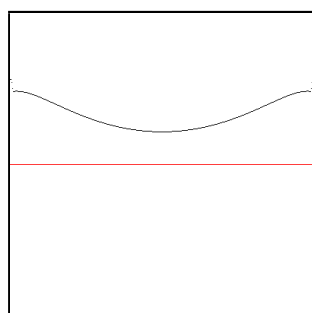
(b) $N = 101, T = 0.5s$



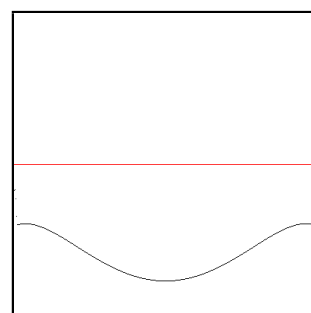
(c) $N = 101, T = 1s$



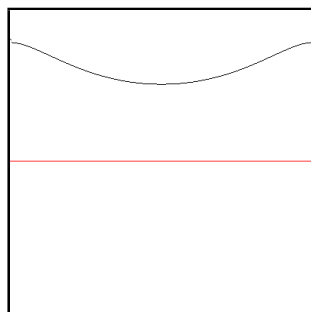
(a) $N = 201, T = 0.02s$



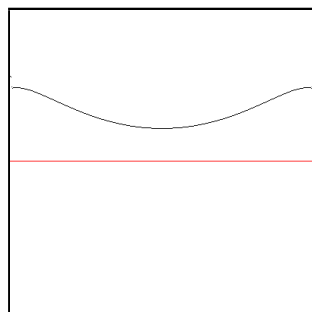
(b) $N = 201, T = 0.5s$



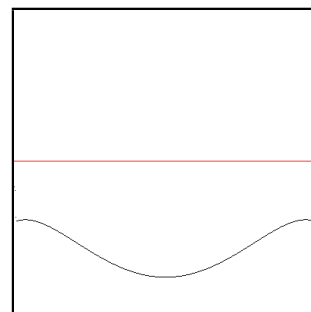
(c) $N = 201, T = 1s$



(a) $N = 301, T = 0.02s$



(b) $N = 301, T = 0.5s$



(c) $N = 301, T = 1s$

Wyjaśnienie skali:

pozioma krawędź ramki - odległość od ścianek rurki.

pionowa krawędź ramki - wartość ciśnienia:

dolny róg ramki:

$$p = -400 \text{ Pa}$$

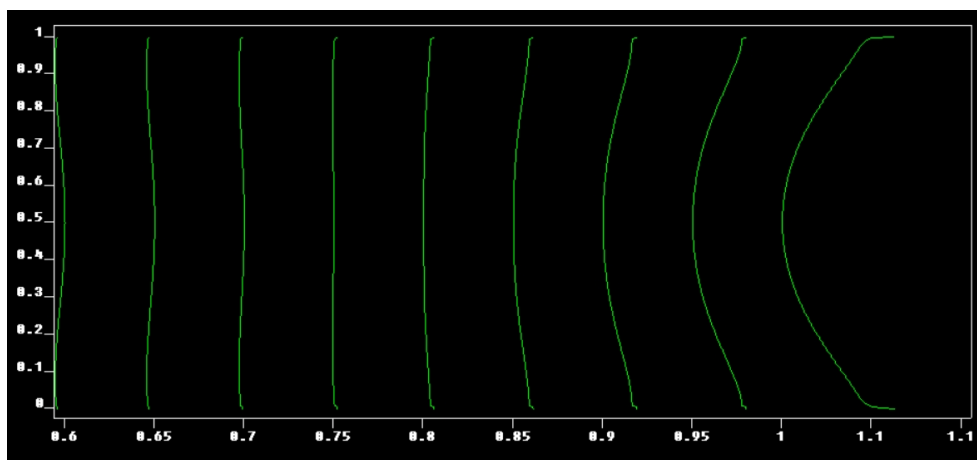
czerwona linia:

$$p = -200 \text{ Pa}$$

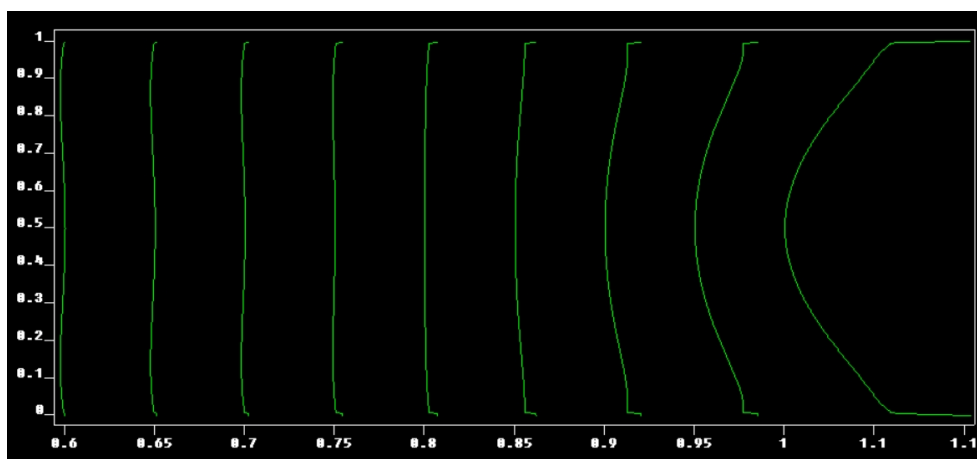
górny róg ramki:

$$p = 0 \text{ Pa}$$

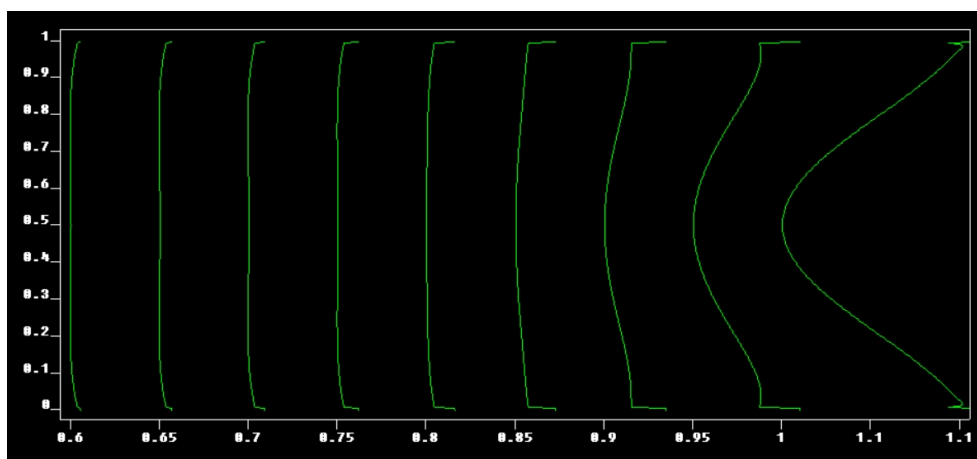
10.4. Wariant A), rozkład ciśnienia w przekrojach poprzecznych, dla $\xi = \{0.6, 0.65, 0.7, 0.75, 0.8, 0.85, 0.9, 0.95\}$.



Rysunek 20: $T = 0.02s$

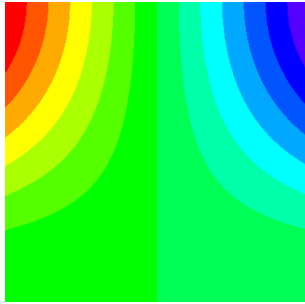


Rysunek 21: $T = 0.5s$

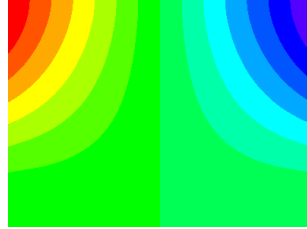


Rysunek 22: $T = 1s$

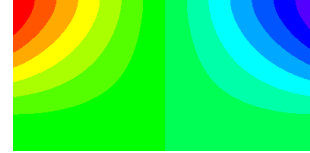
10.5. Wariant A), funkcja prądu, składowe i moduł prędkości, ewolucja w czasie, siatka $N = 301$.



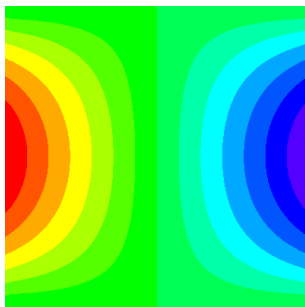
(a) $T = 0.02s, \psi$



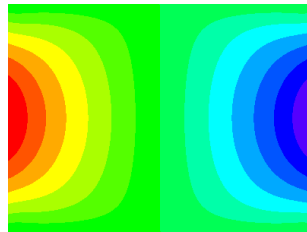
(b) $T = 0.5s, \psi$



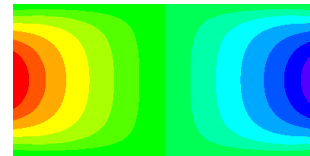
(c) $T = 1s, \psi$



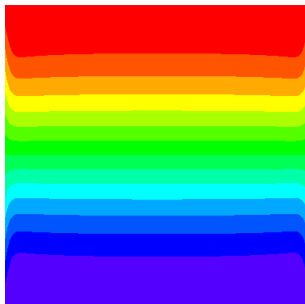
(a) $T = 0.02s, u$



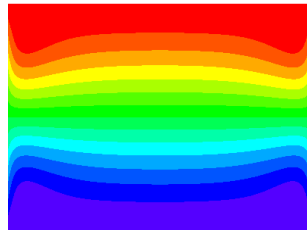
(b) $T = 0.5s, u$



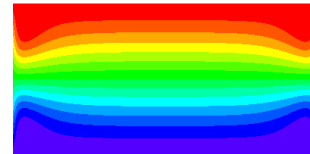
(c) $T = 1s, u$



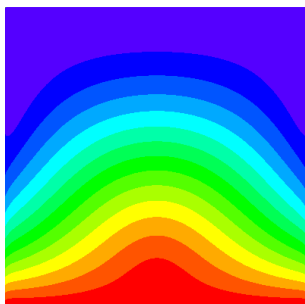
(a) $T = 0.02s, v$



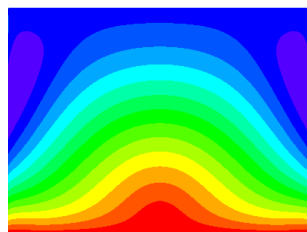
(b) $T = 0.5s, v$



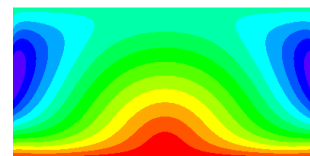
(c) $T = 1s, v$



(a) $T = 0.02s, \sqrt{u^2 + v^2}$

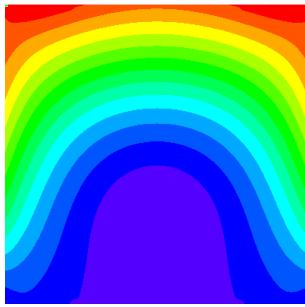


(b) $T = 0.5s, \sqrt{u^2 + v^2}$

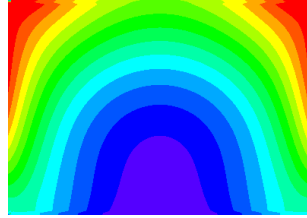


(c) $T = 1s, \sqrt{u^2 + v^2}$

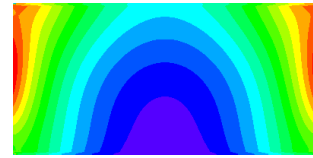
10.6. Wariant B), pole ciśnienia, ewolucja w czasie, 3 różne siatki.



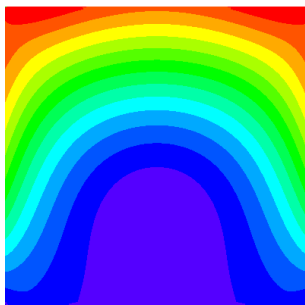
(a) $N = 101$, $T = 0.02s$



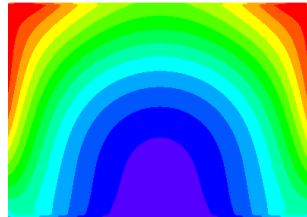
(b) $N = 101$, $T = 0.5s$



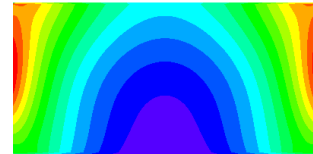
(c) $N = 101$, $T = 1s$



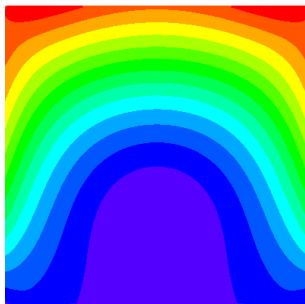
(a) $N = 201$, $T = 0.02s$



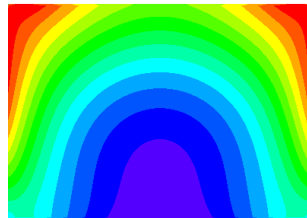
(b) $N = 201$, $T = 0.5s$



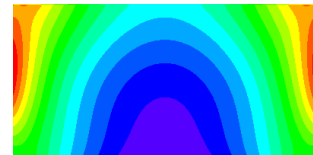
(c) $N = 201$, $T = 1s$



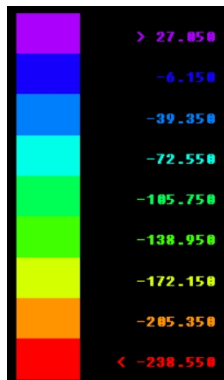
(a) $N = 301$, $T = 0.02s$



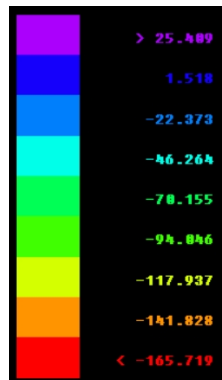
(b) $N = 301$, $T = 0.5s$



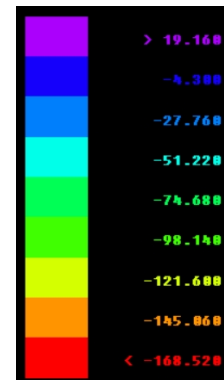
(c) $N = 301$, $T = 1s$



(a) skala, $T = 0.02s$

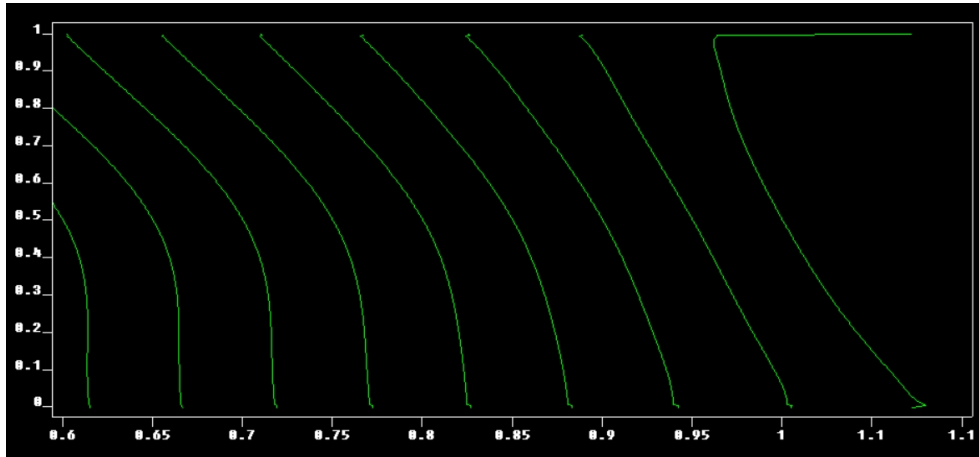


(b) skala, $T = 0.5s$

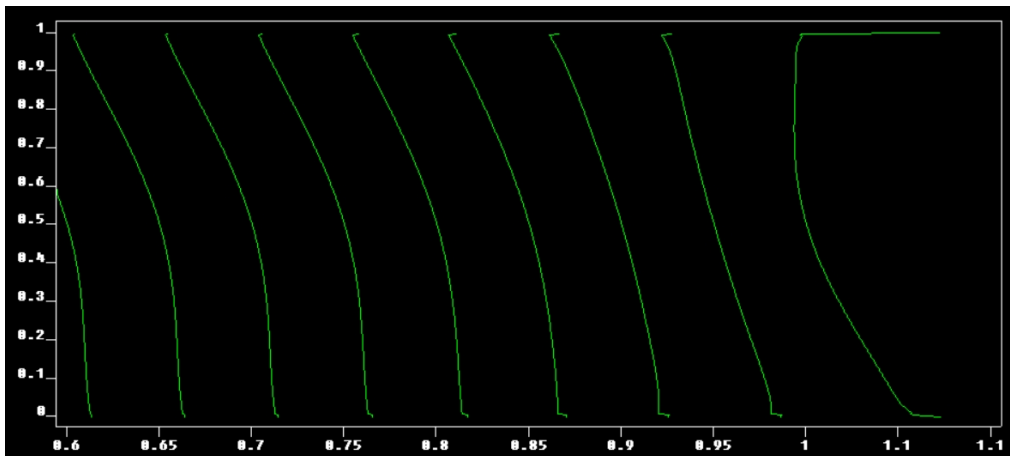


(c) skala, $T = 1s$

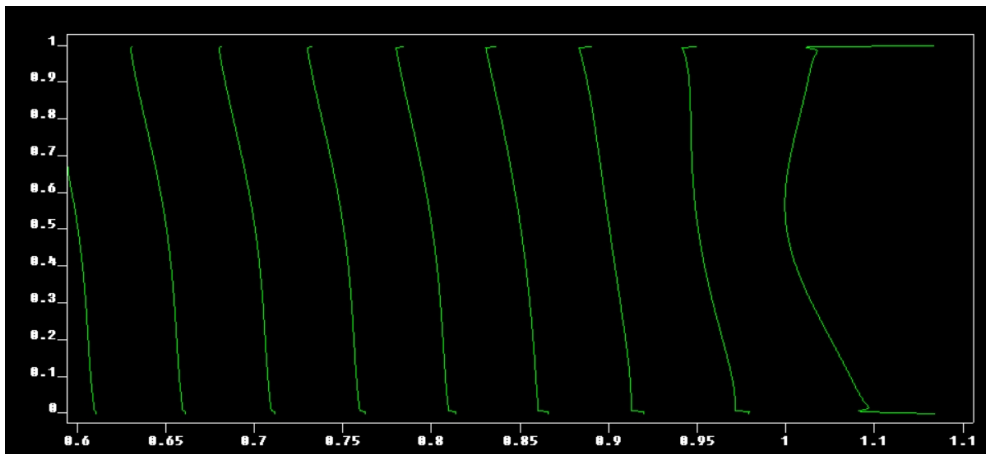
10.7. Wariant B), rozkład ciśnienia w przekrojach poprzecznych, dla $\xi = \{0.6, 0.65, 0.7, 0.75, 0.8, 0.85, 0.9, 0.95\}$.



Rysunek 23: $T = 0.02s$

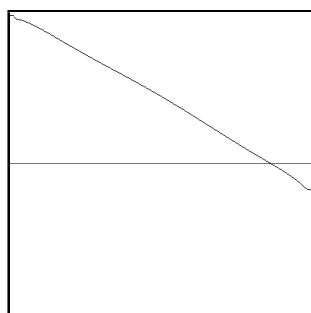


Rysunek 24: $T = 0.5s$

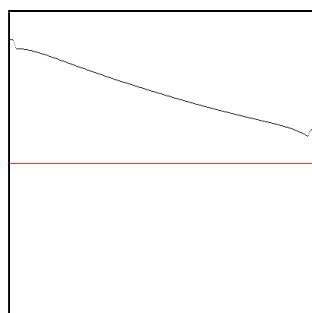


Rysunek 25: $T = 1s$

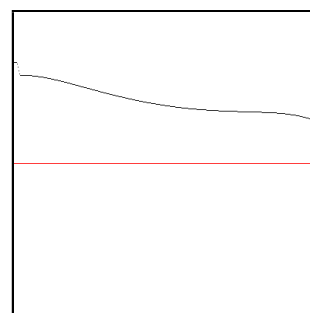
10.8. Wariant B), rozkład ciśnienia w przekroju poprzecznym dla $\xi = 0.95$, ewolucja w czasie, 3 różne siatki.



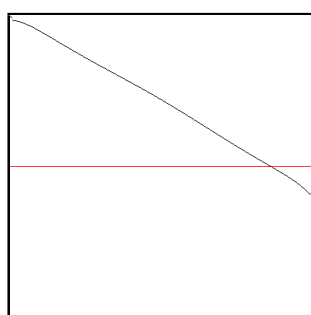
(a) $N = 101, T = 0.02s$



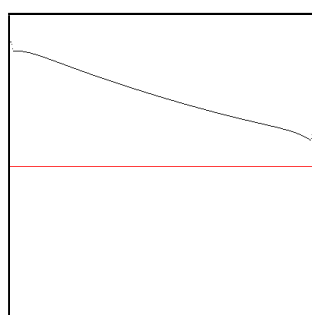
(b) $N = 101, T = 0.5s$



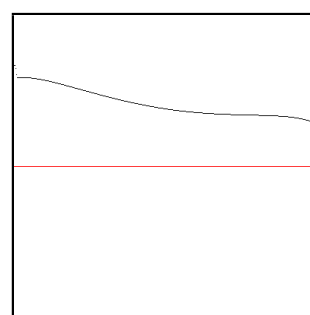
(c) $N = 101, T = 1s$



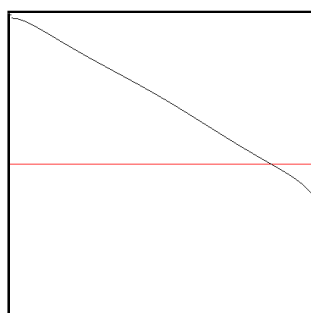
(a) $N = 201, T = 0.02s$



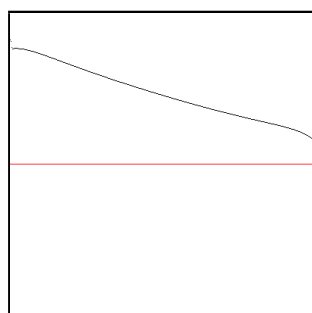
(b) $N = 201, T = 0.5s$



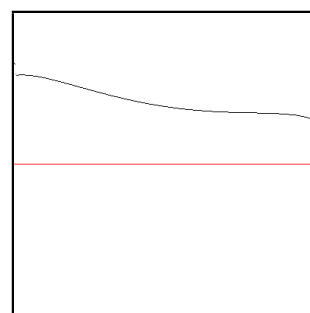
(c) $N = 201, T = 1s$



(a) $N = 301, T = 0.02s$



(b) $N = 301, T = 0.5s$



(c) $N = 301, T = 1s$

Wyjaśnienie skali:

pozioma krawędź ramki - odległość od ścianek rurki.

pionowa krawędź ramki - wartość ciśnienia:

dolny róg ramki:

$$p = -400 \text{ Pa}$$

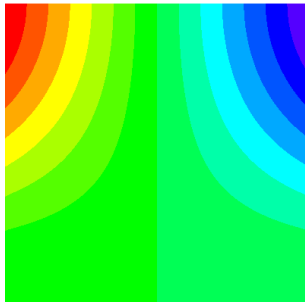
czerwona linia:

$$p = -200 \text{ Pa}$$

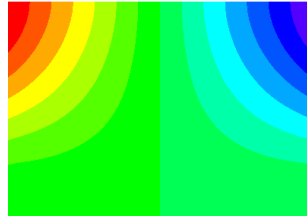
górny róg ramki:

$$p = 0 \text{ Pa}$$

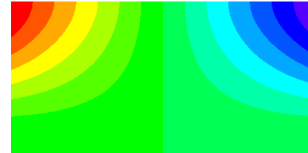
10.9. Wariant B), funkcja prądu, składowe i moduł prędkości, ewolucja w czasie, siatka $N = 301$.



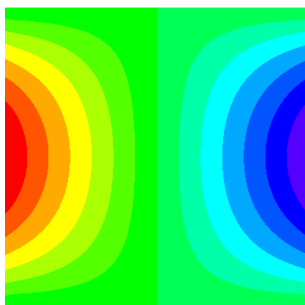
(a) $T = 0.02s, \psi$



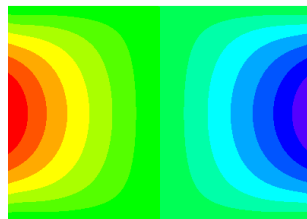
(b) $T = 0.5s, \psi$



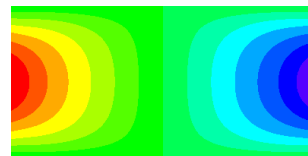
(c) $T = 1s, \psi$



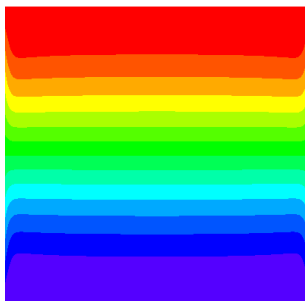
(a) $T = 0.02s, u$



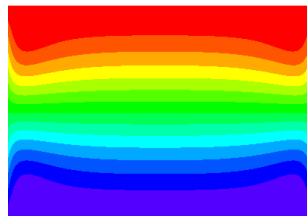
(b) $T = 0.5s, u$



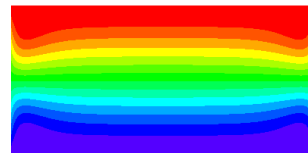
(c) $T = 1s, u$



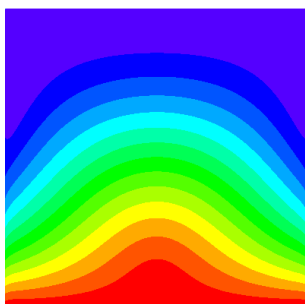
(a) $T = 0.02s, v$



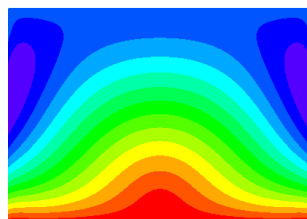
(b) $T = 0.5s, v$



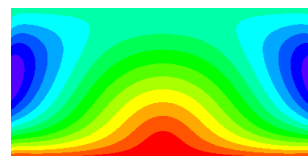
(c) $T = 1s, v$



(a) $T = 0.02s, \sqrt{u^2 + v^2}$



(b) $T = 0.5s, \sqrt{u^2 + v^2}$



(c) $T = 1s, \sqrt{u^2 + v^2}$

11 Siła wymagana do ściśnięcia.

Siła wymagana do ściśnięcia jest całką krzywoliniową po górnej ścianie, z różnicy ciśnień między płynem na zewnątrz rurki (próżnia bądź atmosfera) a płynem wewnątrz rurki, gdzie oba ciśnienia wyznaczone są w pobliżu górnej ścianki (po obu jej stronach).

Ciśnienie wody w rurce zostało wyznaczone z odniesieniem, że ciśnienie w środku rurki jest równe 0. **Poprawnym podejściem** byłoby wyznaczyć ciśnienie w oparciu o to, że na granicy woda-powietrze jest ono równe 0. Nie jest to jednak możliwe do wykonania, ponieważ nie modelujemy granicy woda-powietrze (jej położenie jest nieznane).

Pozostaje więc tylko "umówić się" że rozkład siły wyznaczonej w tym paragrafie będzie **translacją o stałą wartość** względem rzeczywistego rozkładu siły w rozważanym zagadnieniu.

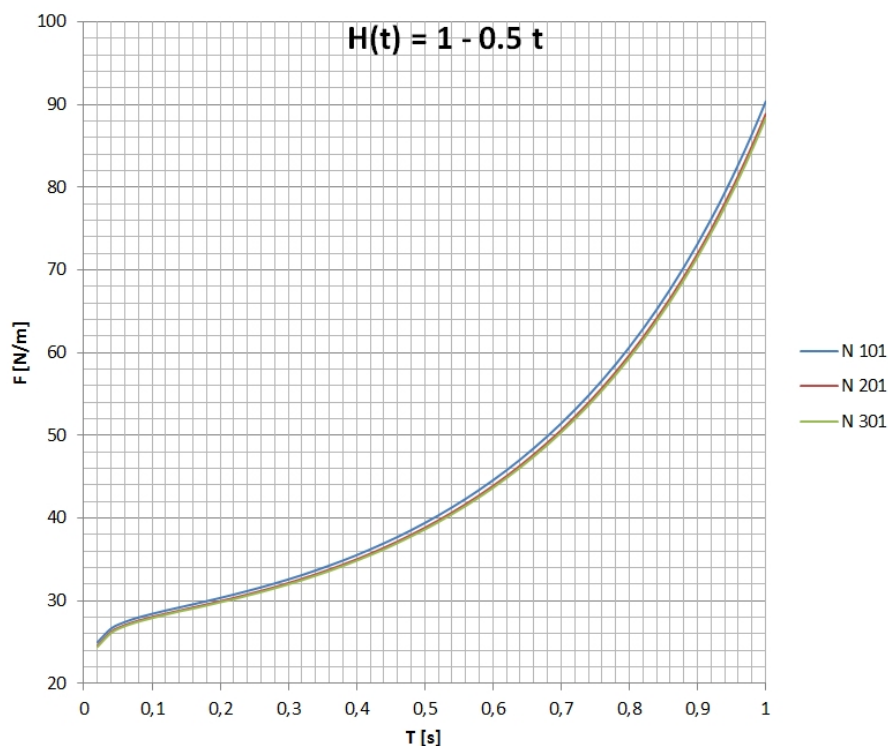
Ponieważ ciśnienie przy brzegach i wylotach jest obarczone znacznym błędem, obliczenie siły wykonamy całkując wzdłuż linii $\eta = 0.95$, $\xi \in (0.05, 0.95)$ - da to bardziej zbliżony wynik dla rosnących rozmiarów siatek.

$$F(t) = \int_K p(\xi, \eta) dK = \sum_{i=a}^b p(i, b) \frac{L}{N-1} \quad (151)$$

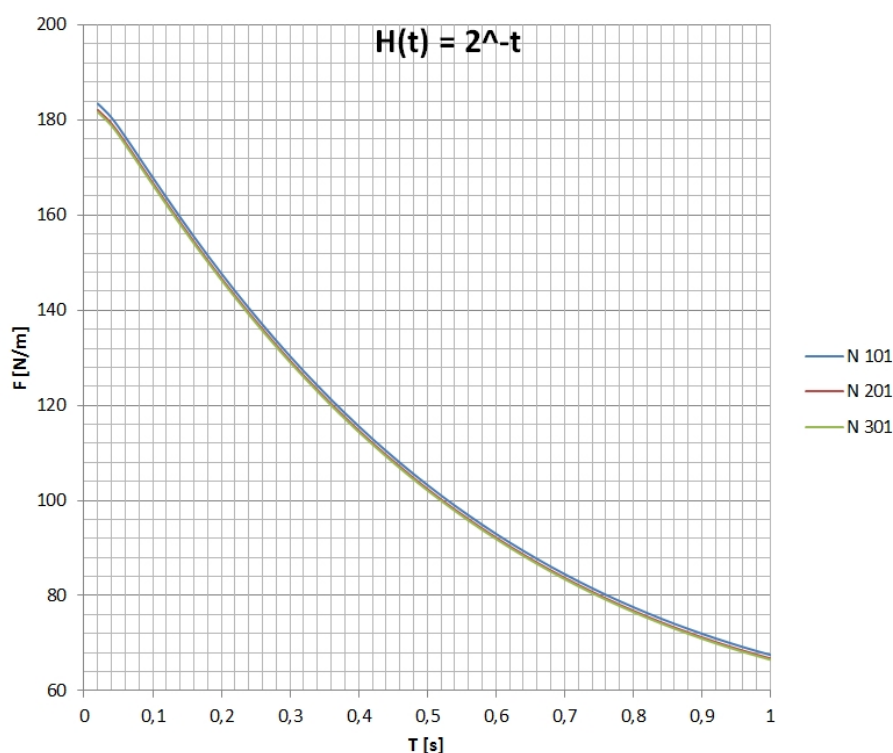
Gdzie:

$$a = 1 + 0.05 (N - 1)$$

$$b = 1 + 0.95 (N - 1)$$



Rysunek 26: ściskanie siłą wywołującą stałą prędkość górnej ścianki



Rysunek 27: ściskanie siłą wywołującą wykładniczo malejącą prędkość górnej ścianki

Zgodnie z przewidywaniami, rysunek 26. przedstawia funkcję rosnącą.

Interpretacja: aby ścisnąć ściankę ze stałą prędkością, musimy przykładać tym więcej siły, im więcej wody już wycisnęliśmy, a smukłość rurki się zwiększyła.

Rysunek 27. przedstawia funkcję malejącą: jeśli przyłożylibyśmy siłę malejącą w czasie, to będziemy wyciskali stopniowo coraz mniej wody.

Ponieważ uzyskaliśmy 2 skrajne przypadki, to **na pewno istnieje** taka zależność wysokości rurki od czasu $H(t)$, że wymagana do przyłożenia siła jest stała w czasie.

Funkcja $H(t)$ dla takiego wymuszenia siłowego będzie malała w czasie szybciej niż wykładniczo, ale wolniej niż liniowo.